# コンパクトでクランピーな 超遠方銀河の形成

矢島 秀伸 (筑波大学計算科学研究センター)

# 1. 初代銀河の形成 (with Pop III)

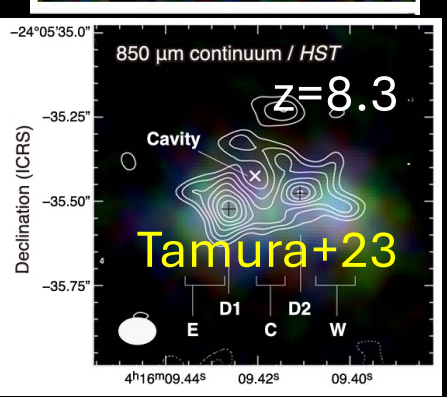
# 2. 初代銀河の星団形成

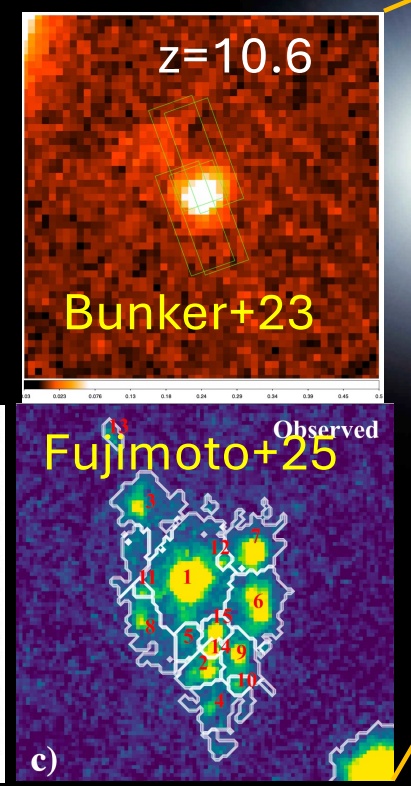
#### 銀河形成の人が知りたいこと

- スターバースト
- ・ BHとの共進化
- 形態
- ・ 重元素と多波長特性
- 合体や環境効果

### JWSTによる超遠方宇宙探査時代

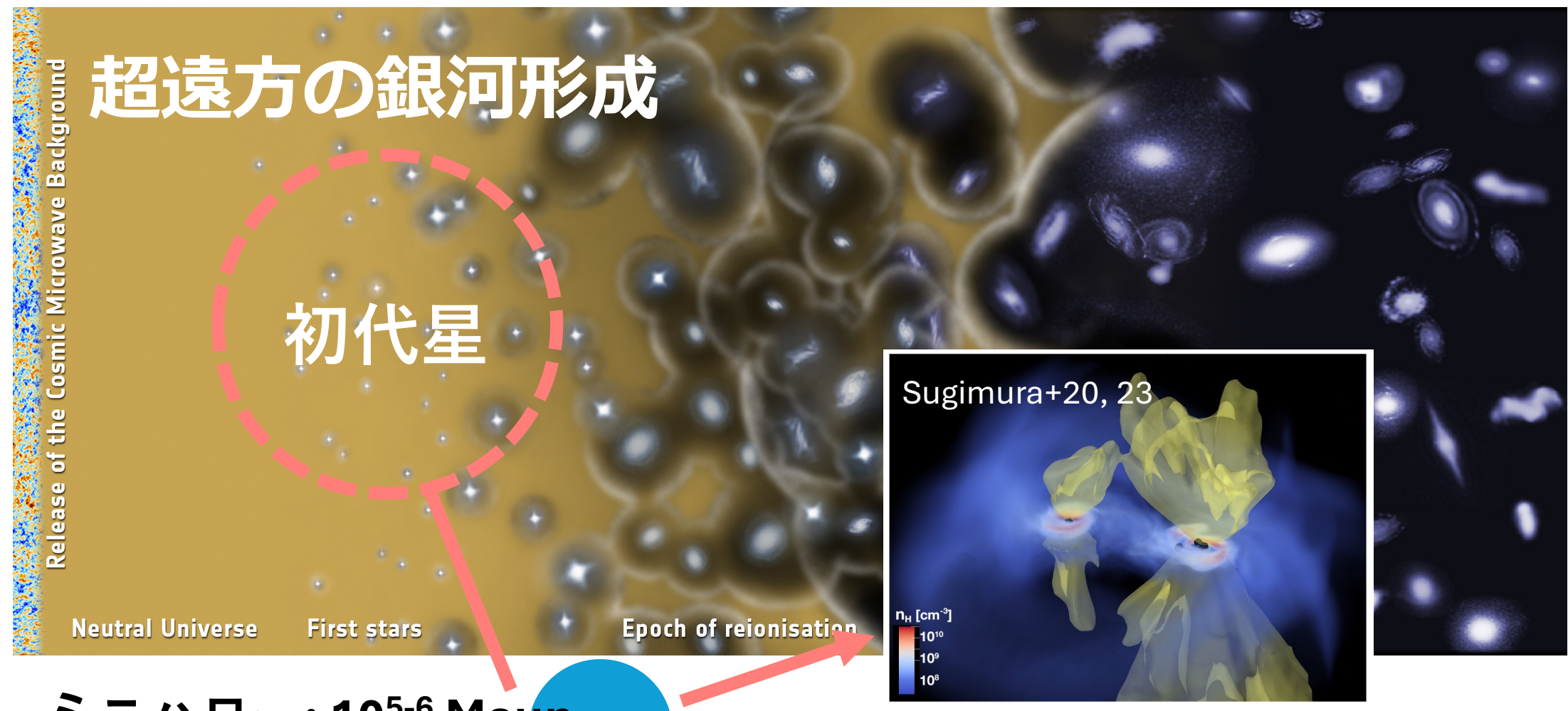








最遠方銀河の発見NASA/WMAP team たくさんのMassive BHs z=10でもライマンアルファ輝線 窒素過剰 低金属星団 (球状星団)



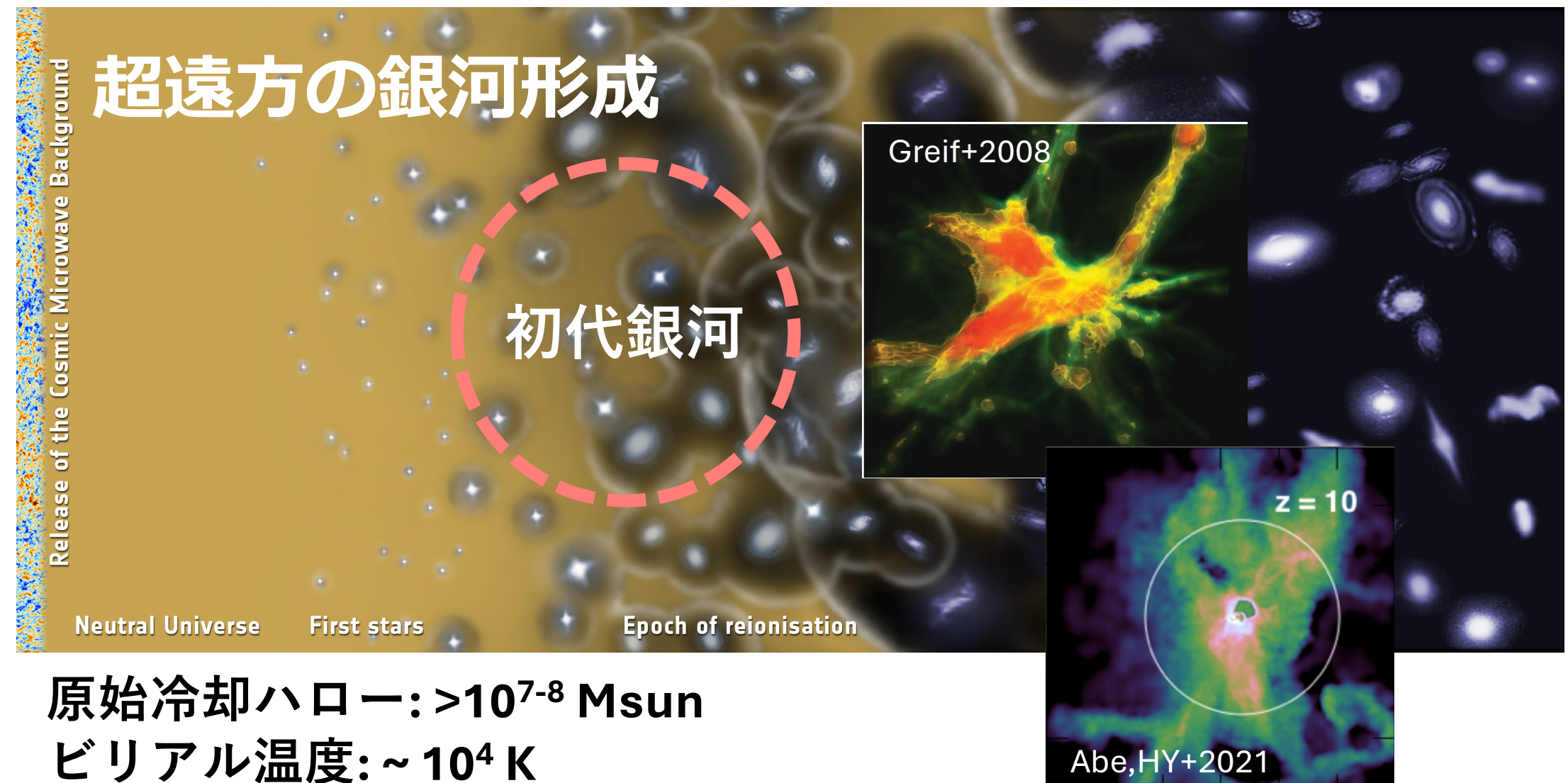
ミニハロー: 10<sup>5-6</sup> Msun

ビリアル温度:~3000 K

水素分子冷却

1 - a few stars

Massive star formation First metal enrichment Intense UV radiation

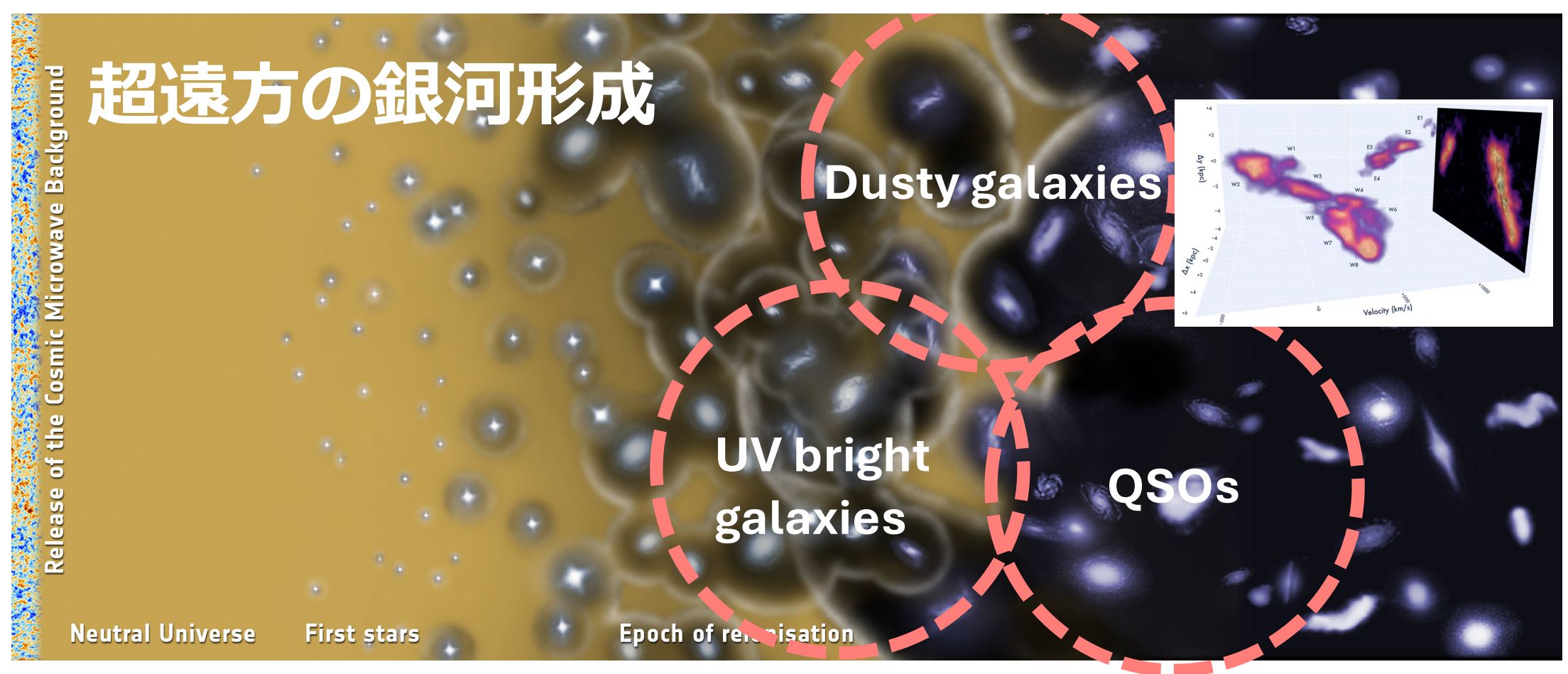


 ヒリアル温度: ~ 10\* K

 H/He 輝線冷却
 Mull

 星団形成
 For

Multiple supernovae
Forming UV background
Environmental effects



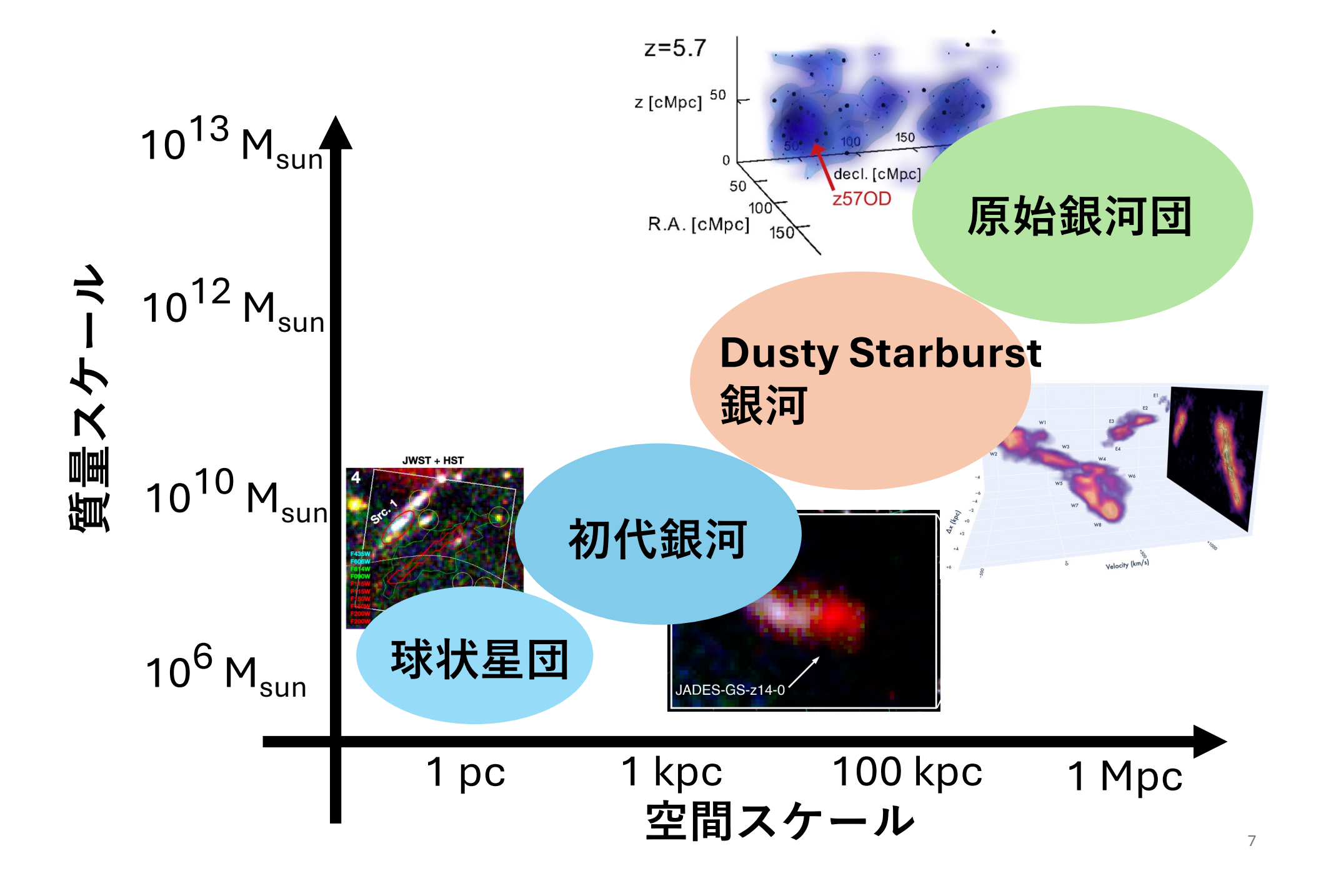
大質量ハロー: >~10<sup>11</sup> Msun

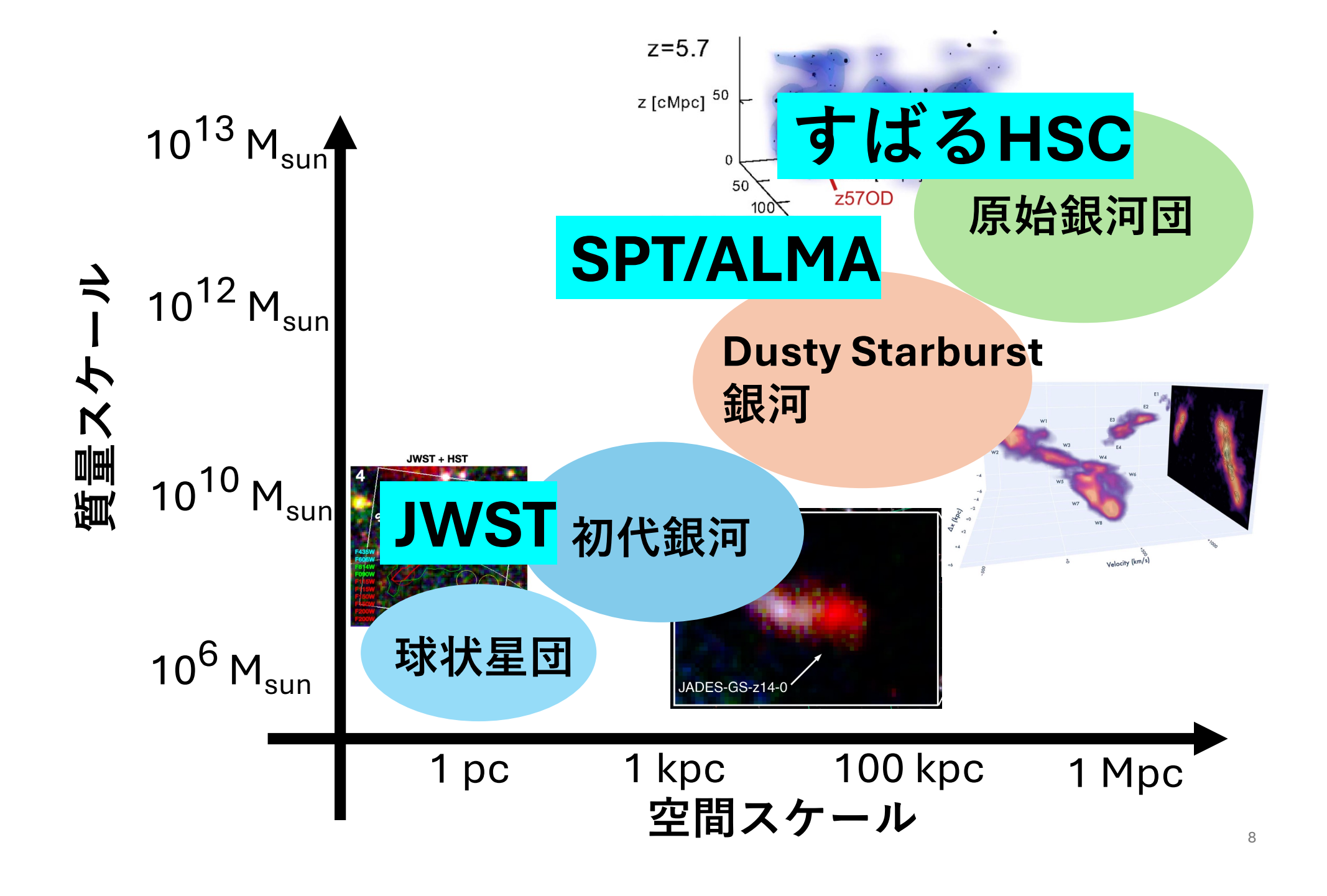
ビリアル温度: > 10<sup>5</sup> K

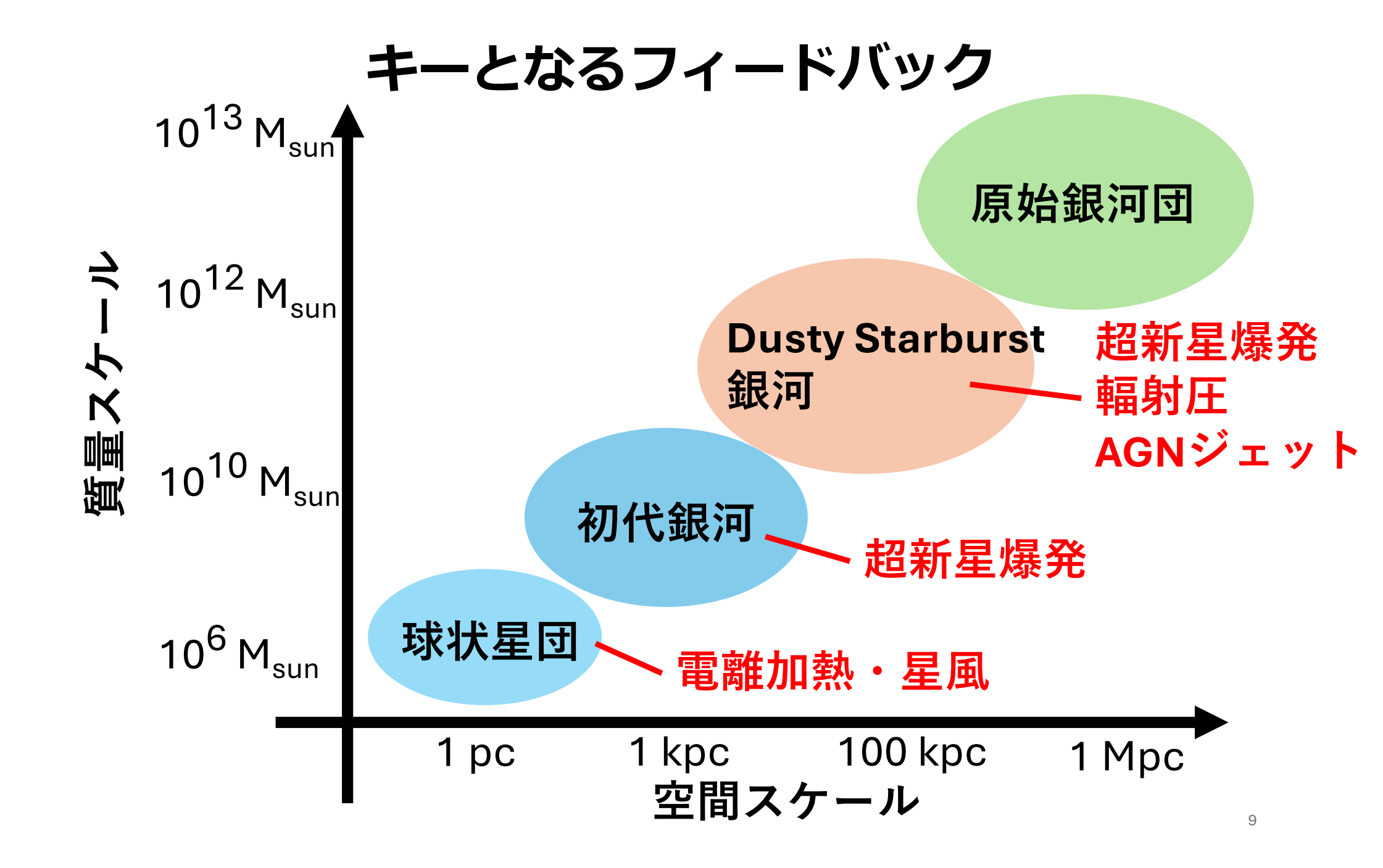
金属冷却 スターバースト SMBH

### 観測が可能

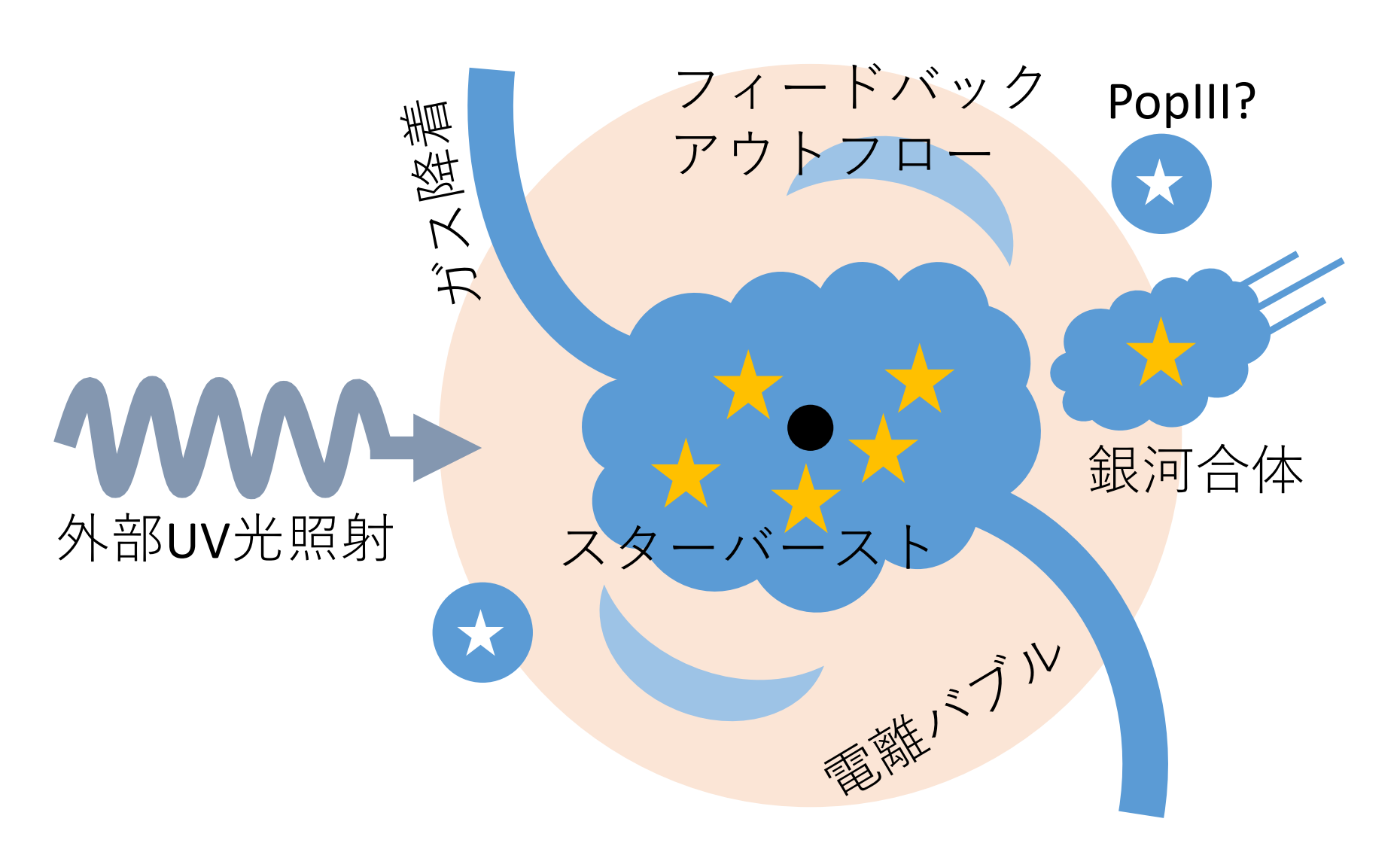
With JWST, ALMA, Subaru, Keck, VLT







# 超遠方銀河形成過程

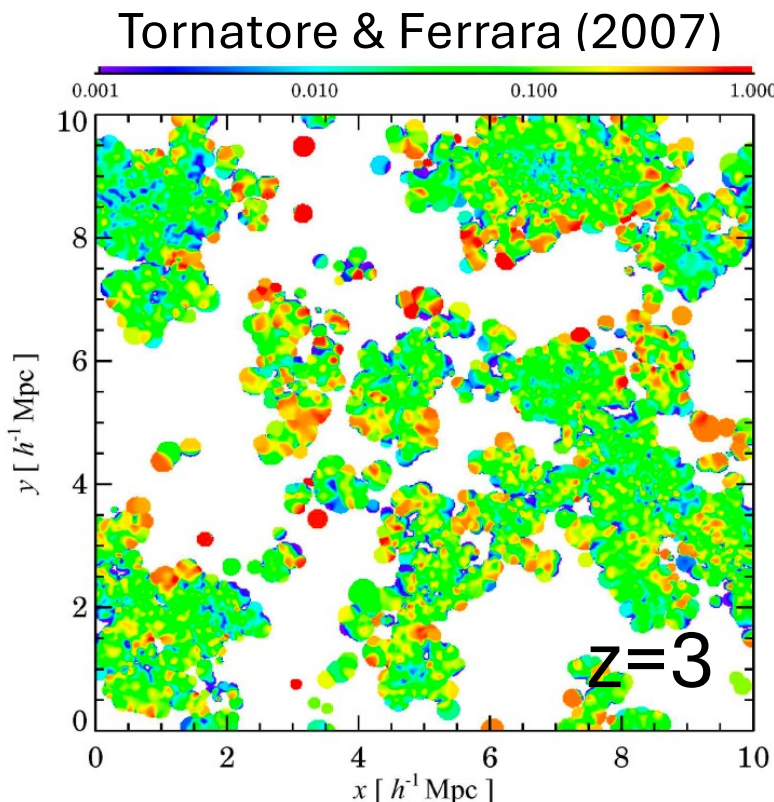


# PopIII銀河の形成



#### 観測的な特徴

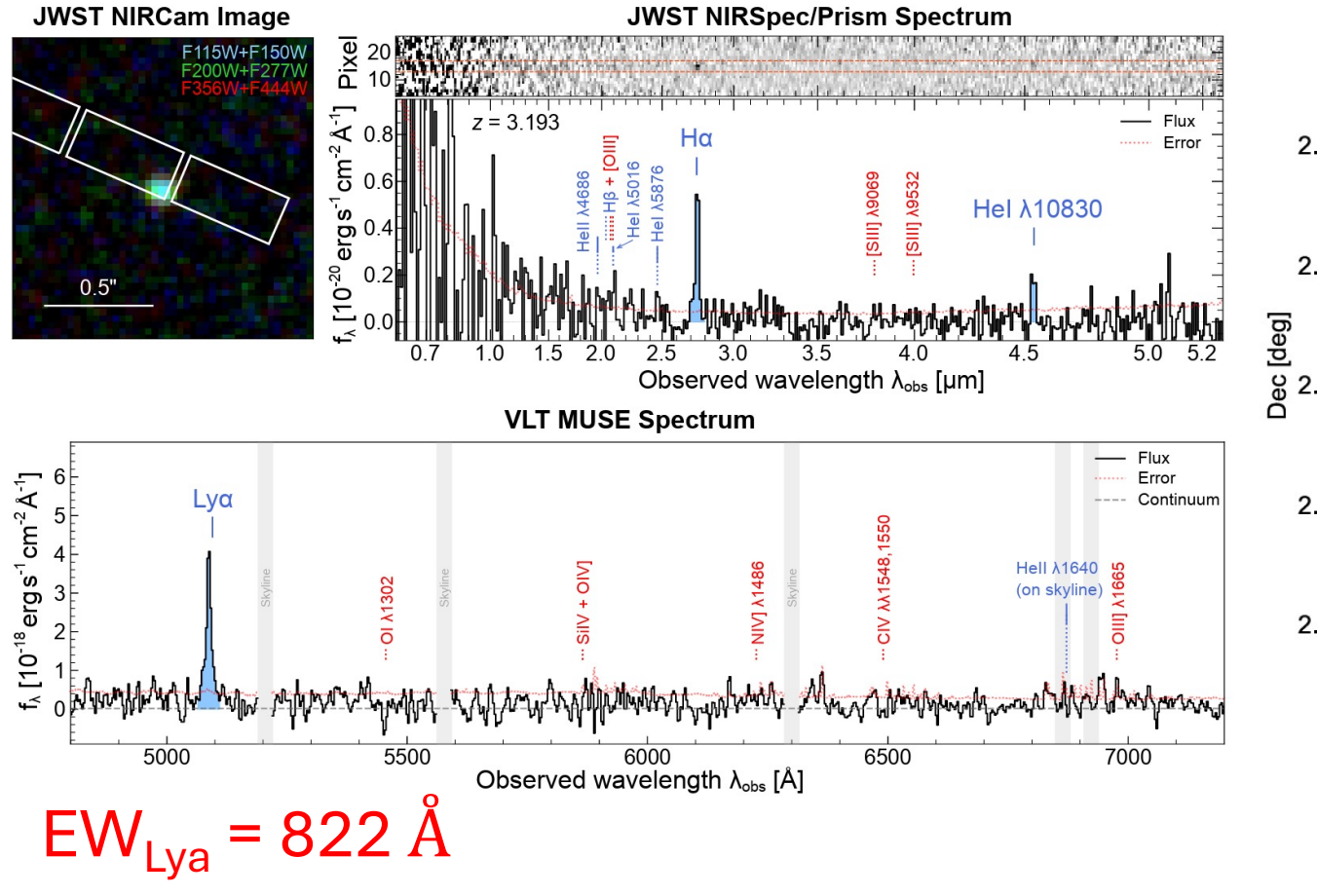
ライマンアルファなどの輝線の等価幅が大きい UV連続波が青い Hell輝線がある 重元素輝線が無い

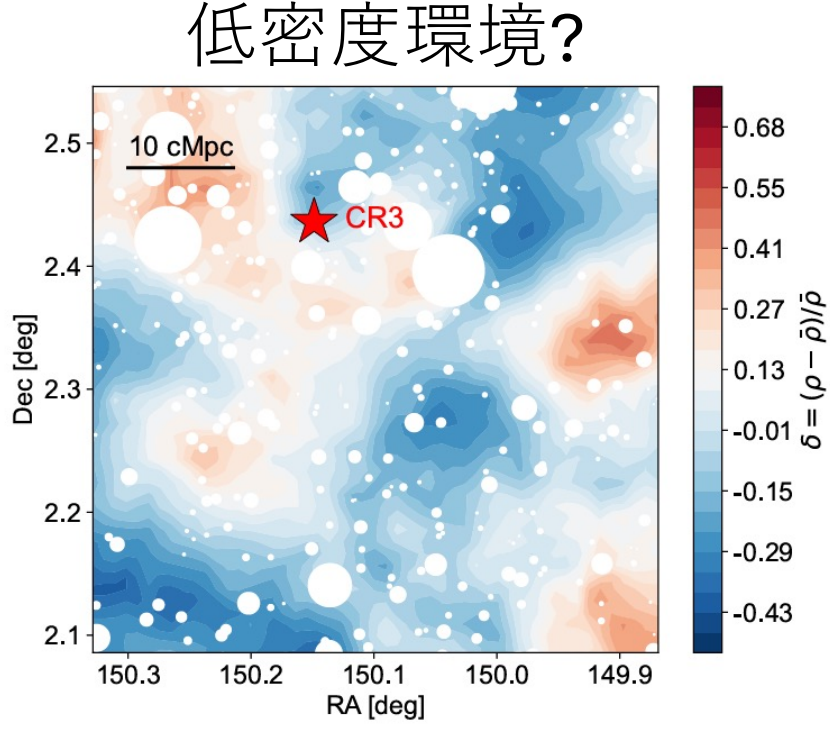


赤い所がPopIII銀河

# Pop III galaxy at z=3.19 (Cai+2025)

 $M_{popIII}$ =6.1 x 10<sup>5</sup>  $M_{sun}$ , Z < 8 x 10<sup>-3</sup>  $Z_{sun}$ 

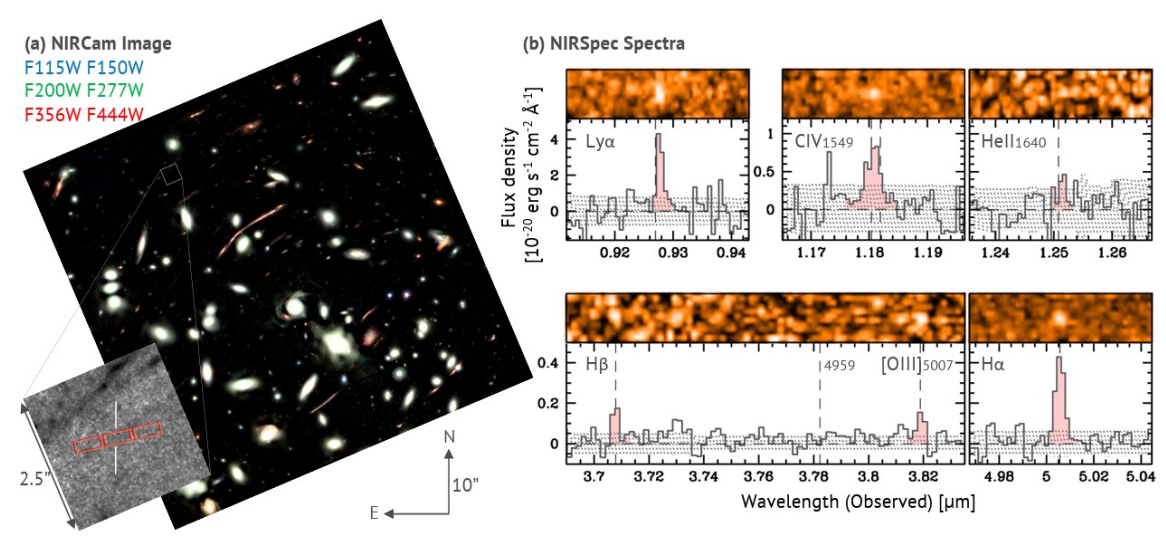




# Pop III星団とmetalの混在?

LAP1-B (z=6.6)

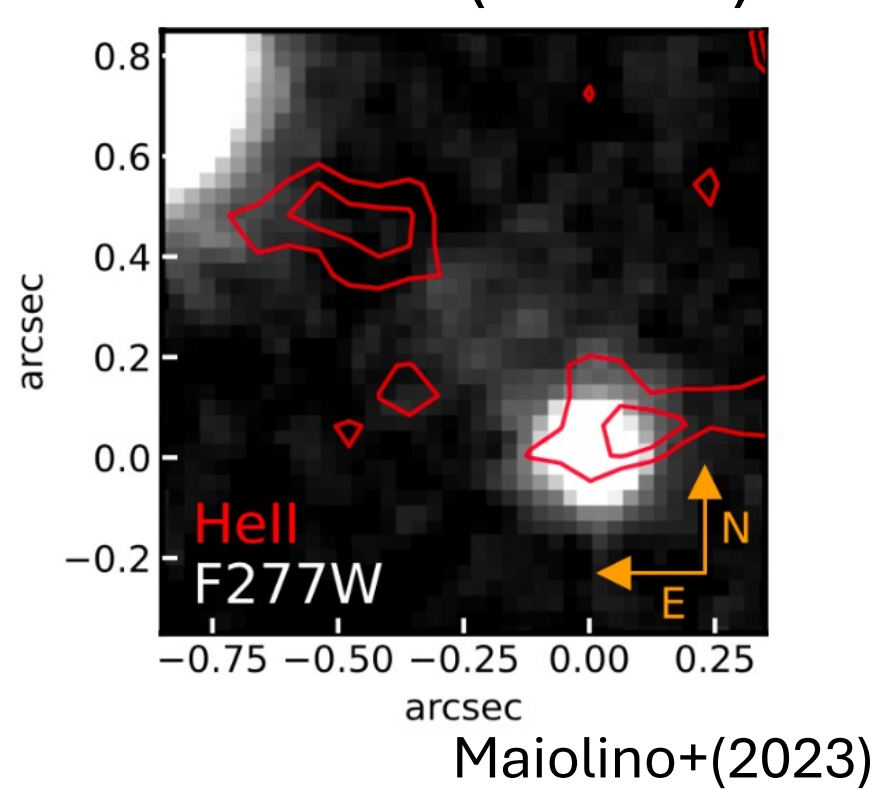
 $M_{star} < 2700 M_{sun}, Z=4.2 \times 10^{-3} Z_{sun}$ 



Nakajima+2025

Hellは受かっていない

GN-z11 (z=10.6)



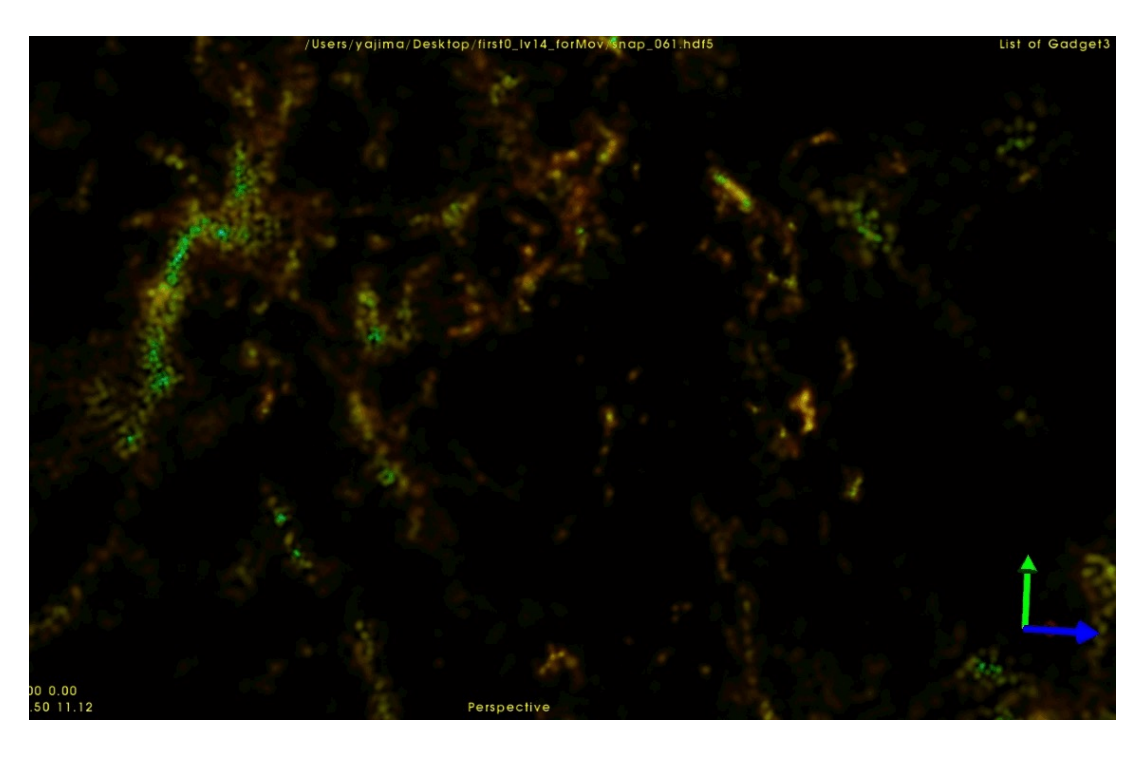
Lyaは受かっていない

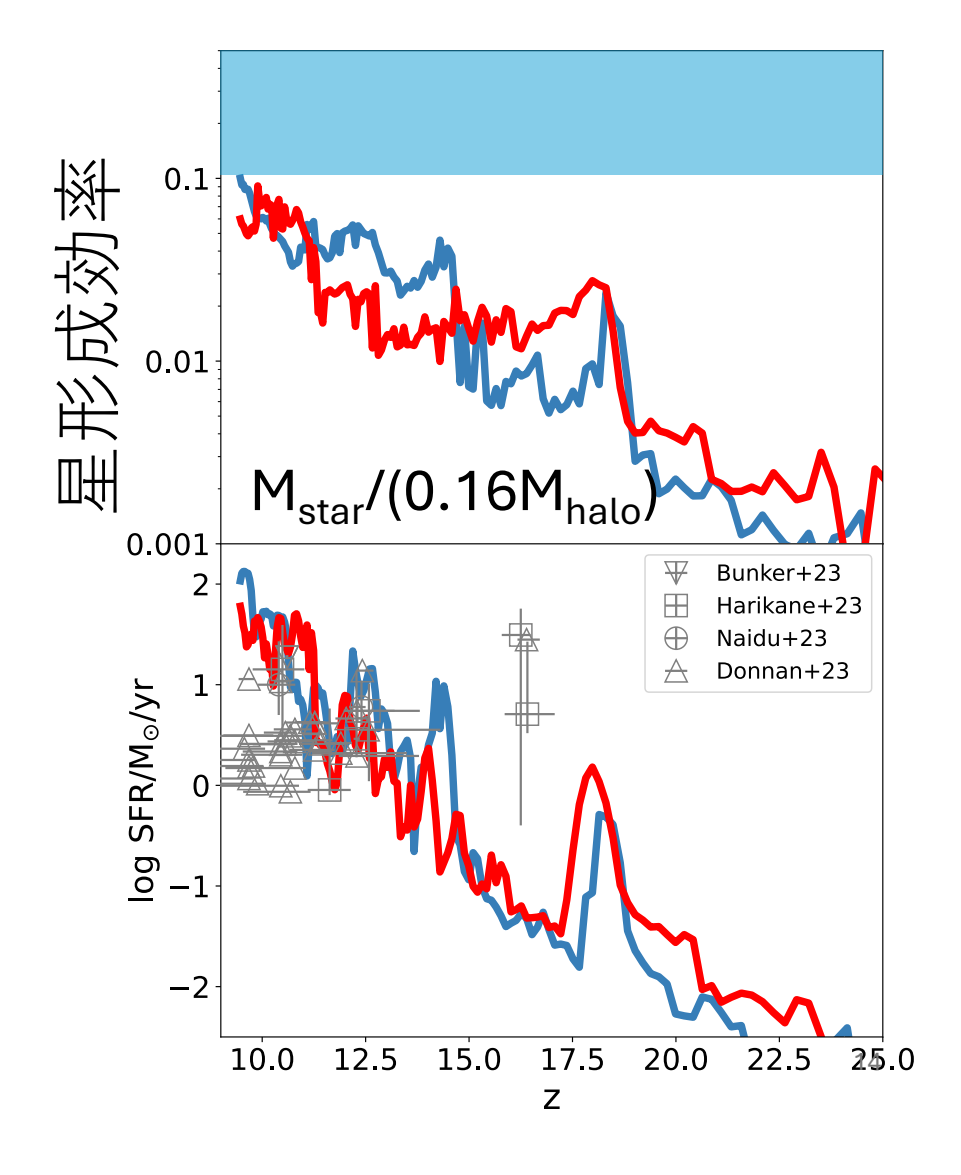
原始銀河団

### 密度超過領域での初代銀河形成

**Yajima**+(2023)

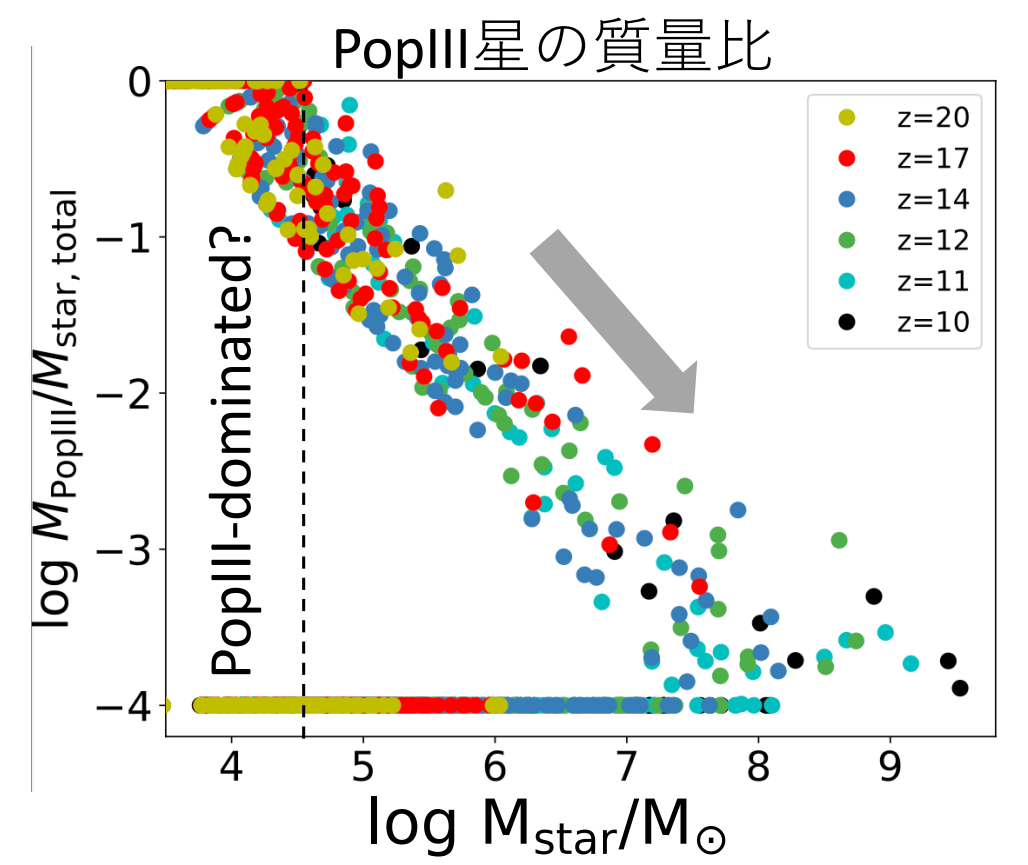
JWST観測の明るい銀河は 再現できているが星形成効率 は大きくない

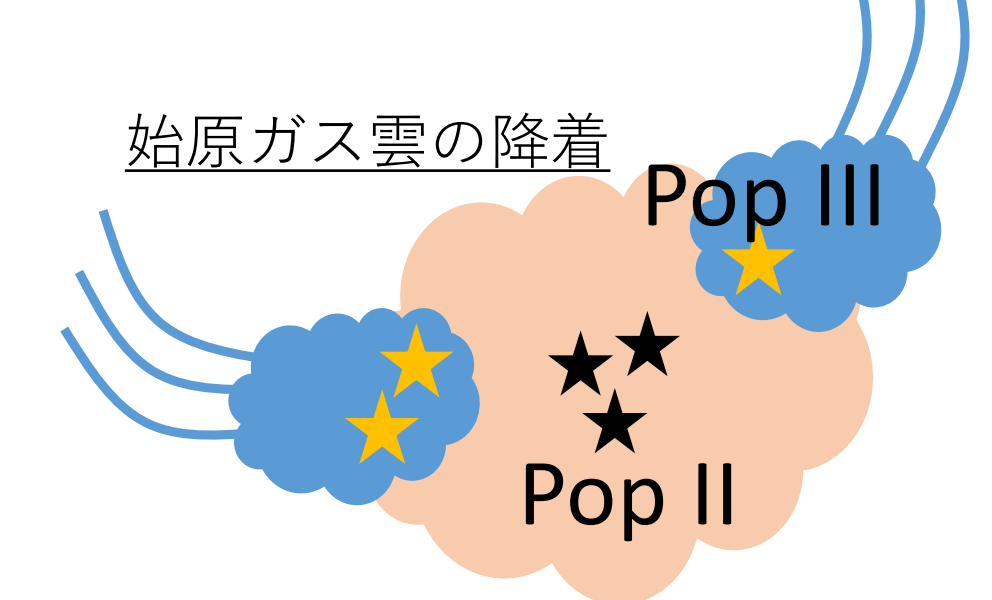




# なめらかなPopIIIからPopIIへの遷移

(Yajima+2023)



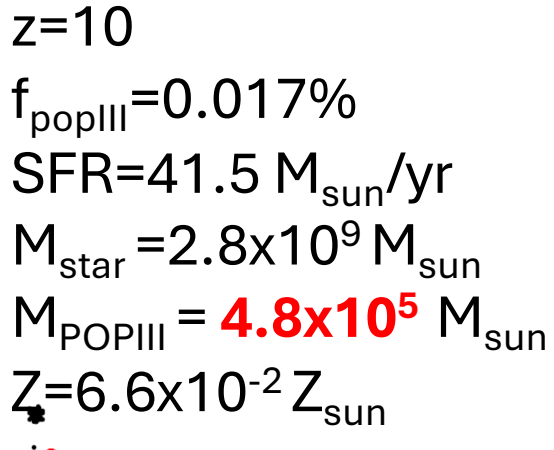


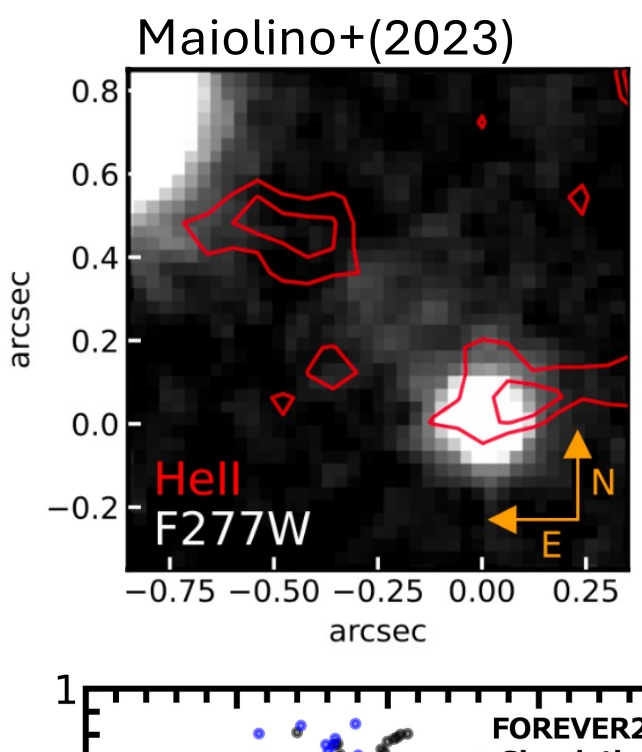
種族Ⅲ星割合は銀河質量とともに スムーズに減少

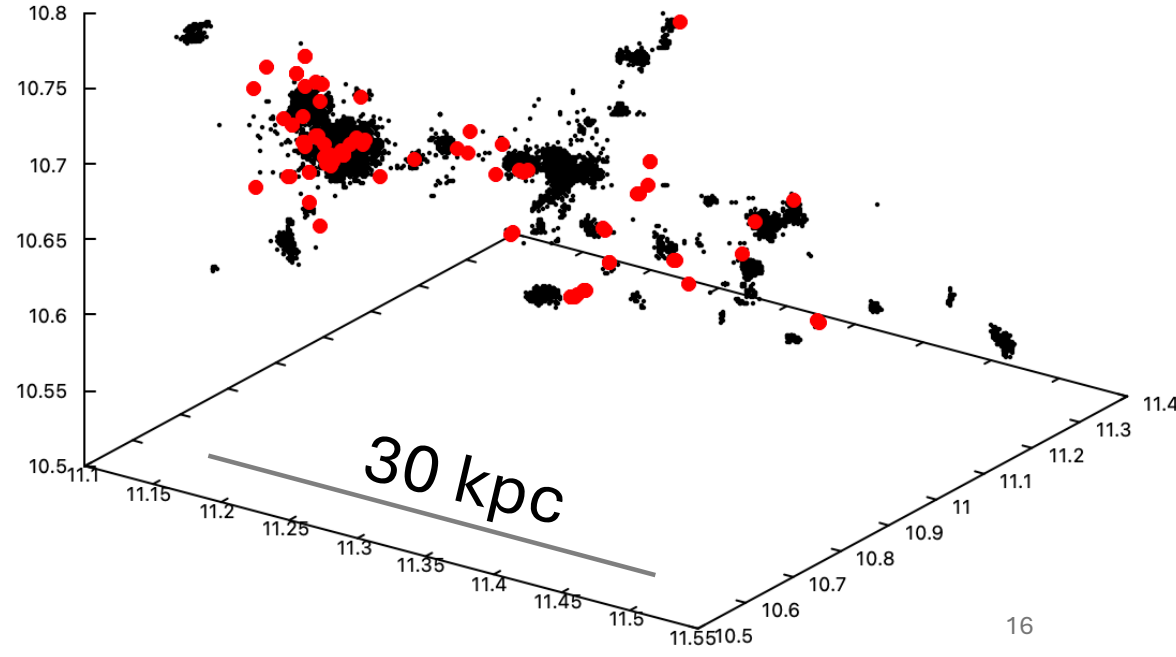
M<sub>star</sub>~10<sup>6</sup>M<sub>sun</sub>のシステムでは1%程度

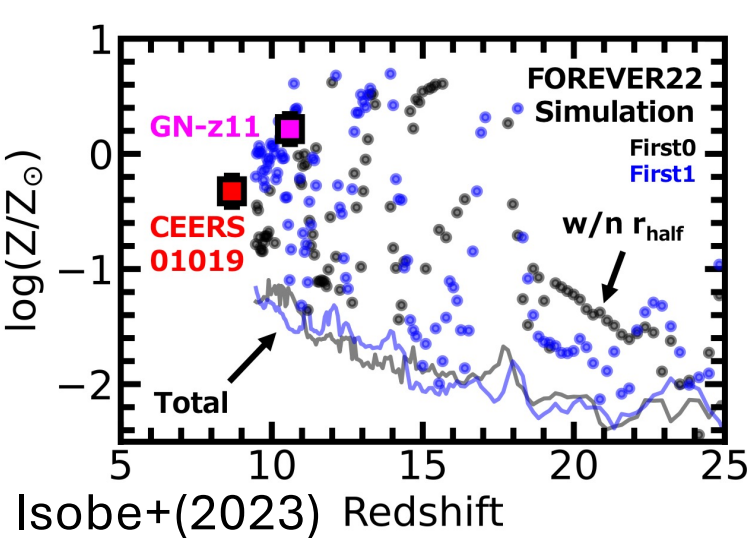
# 種族III星の分布

- Pop II
- Pop III



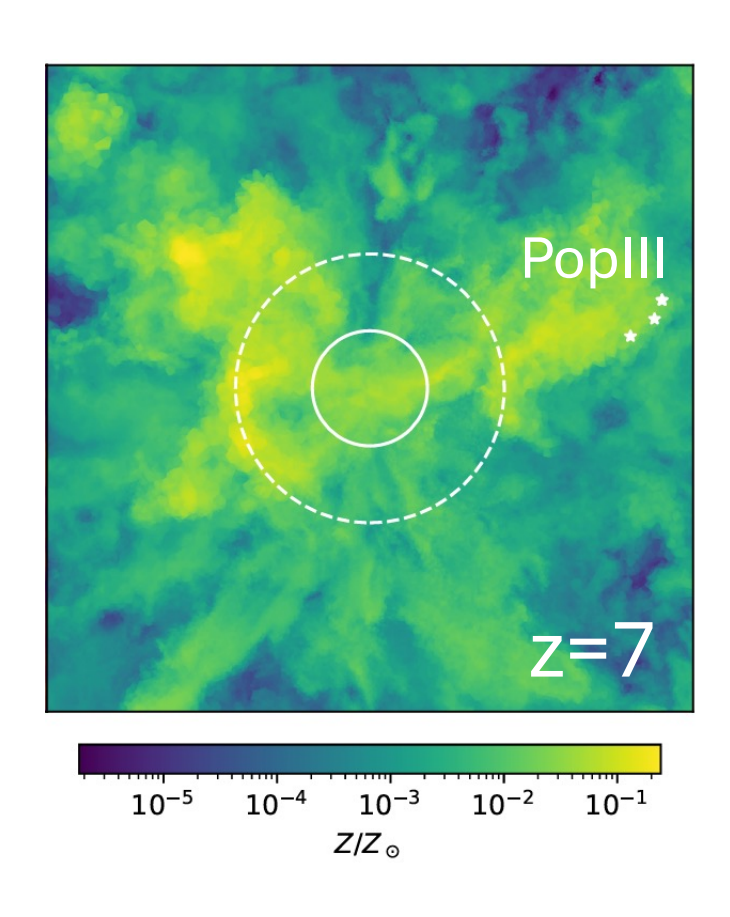


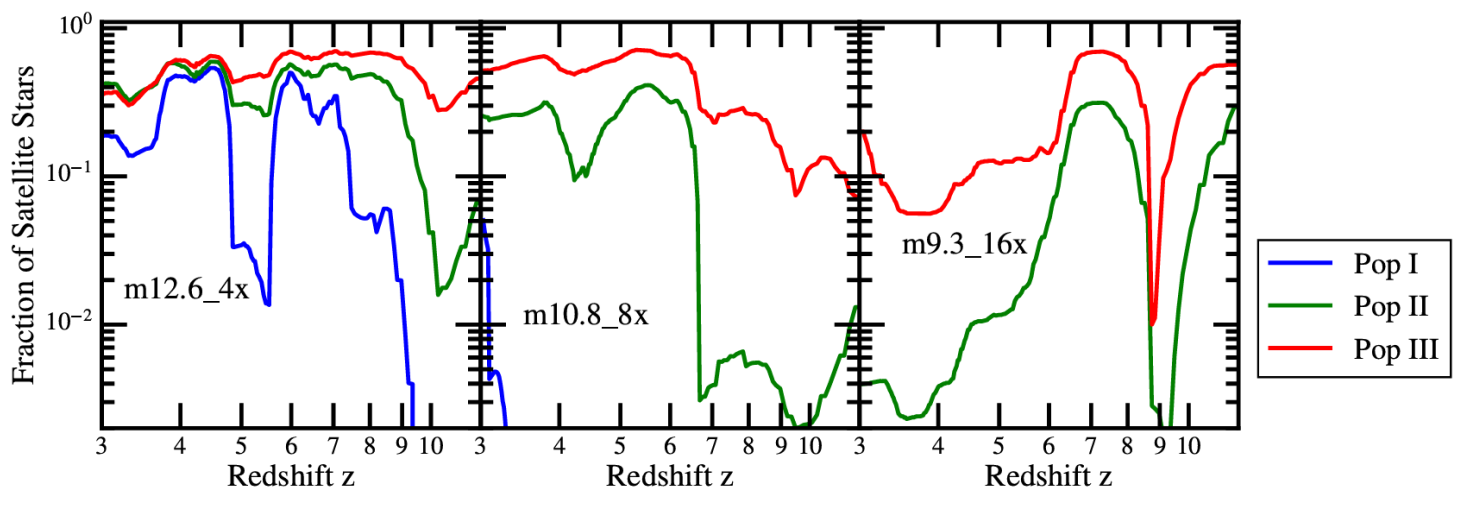




#### **THESAN-Zoom simulation**

Zier+2025

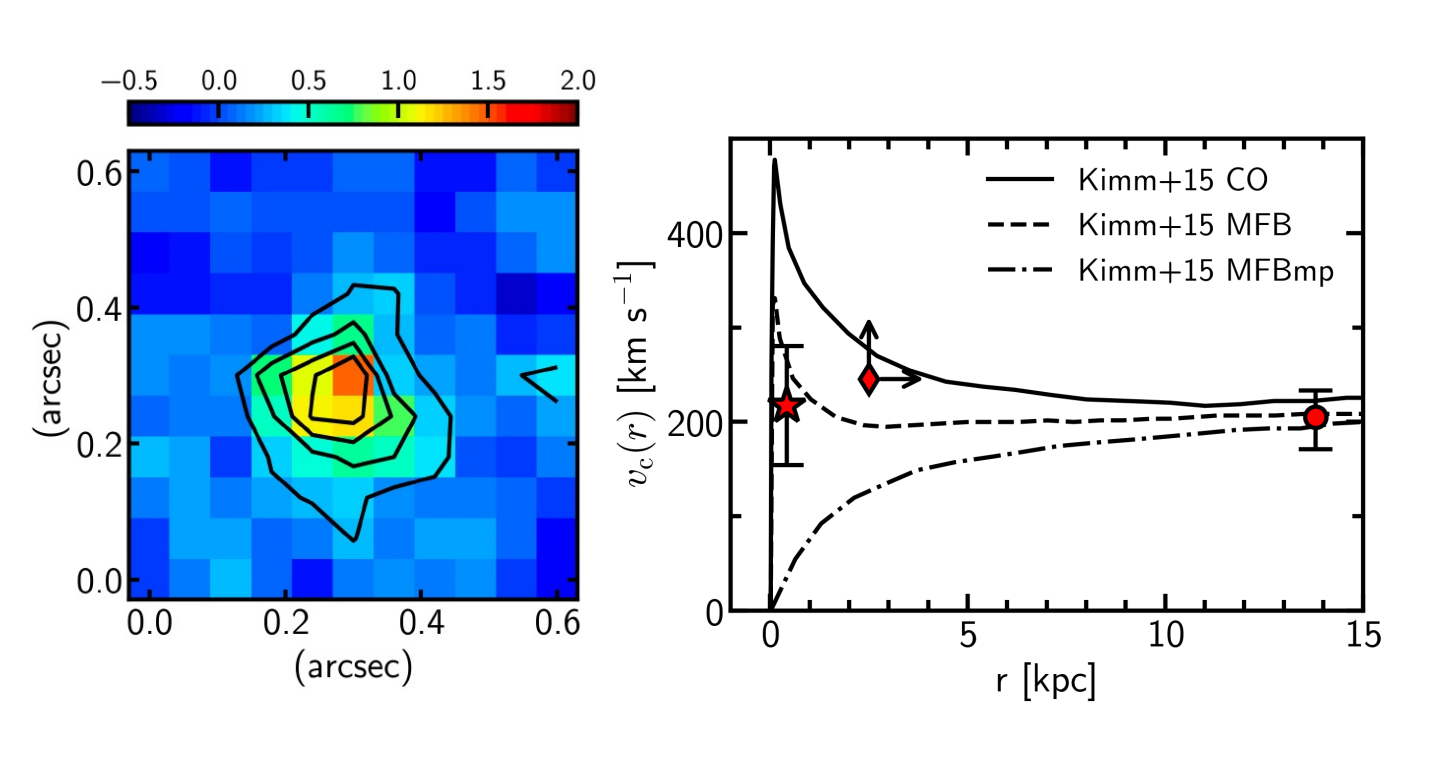




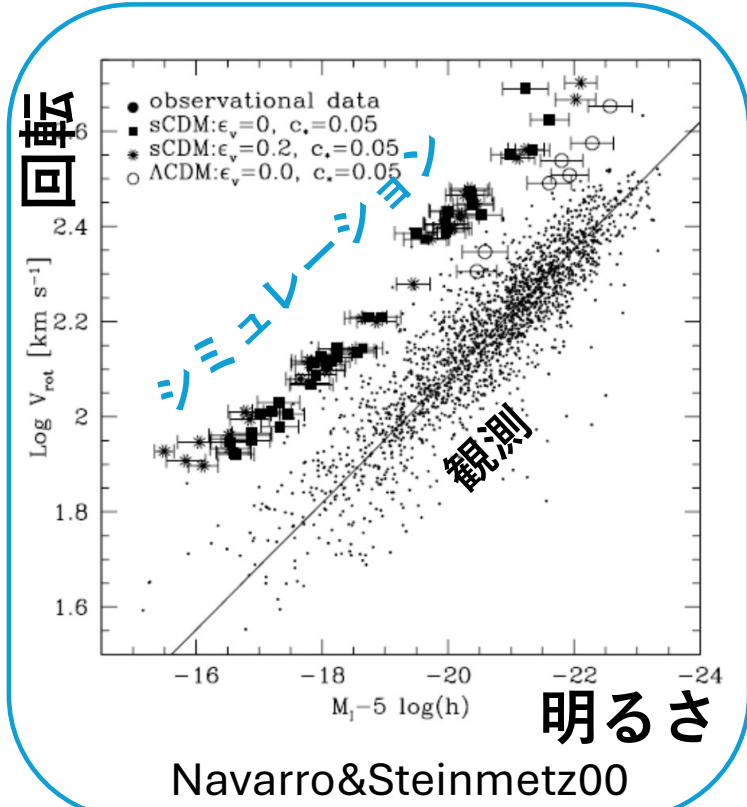
サテライトではz~3までPopIII形成が 続くらしい

### GN-z11は高速回転している?

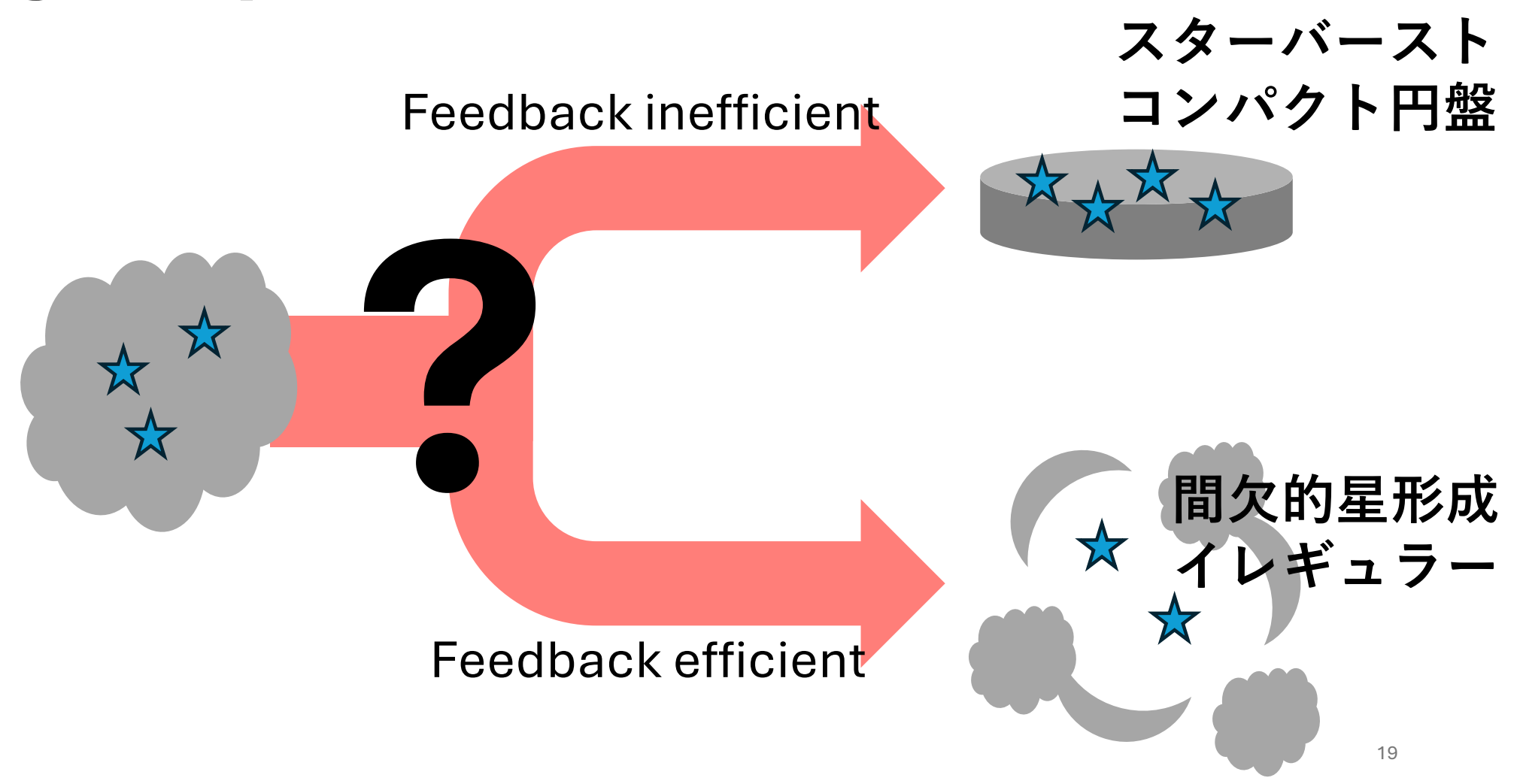
Xu, Ouchi, **Yajima**, eta al. (2024)



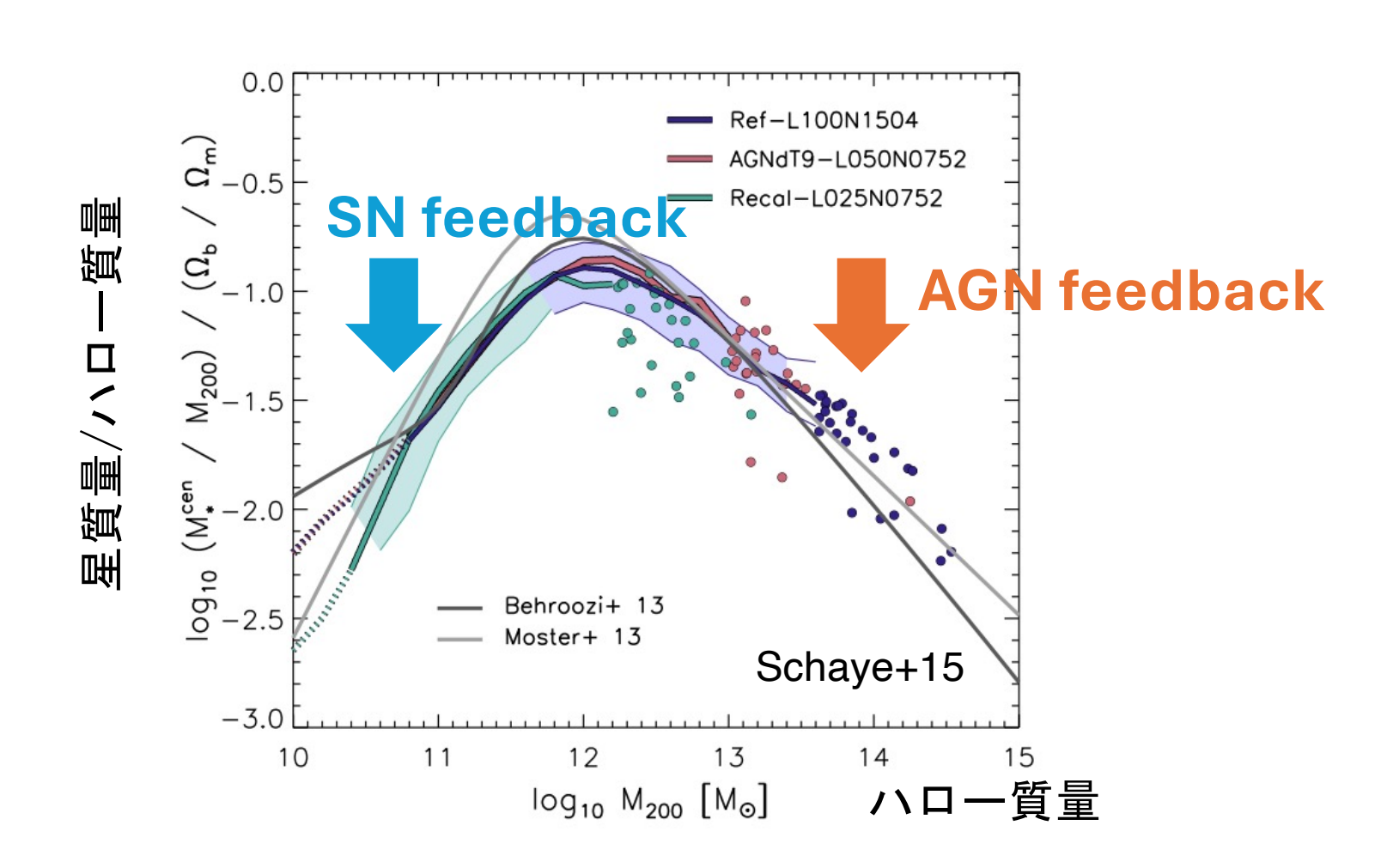
#### 銀河計算の昔の問題



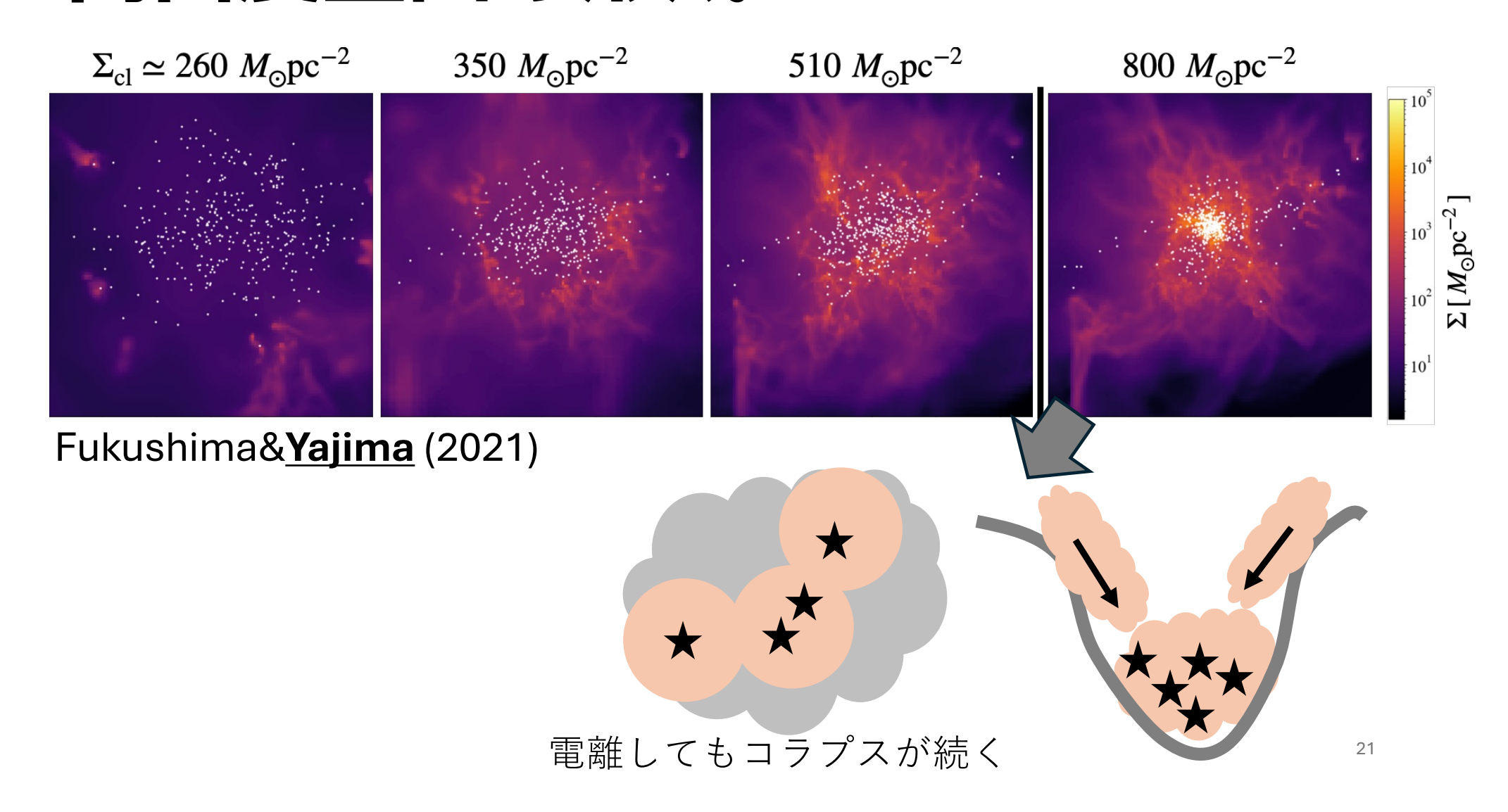
# 2 modes (or more) in the first galaxy evolution?



# 近年の銀河シミュレーションが気にしていたこと

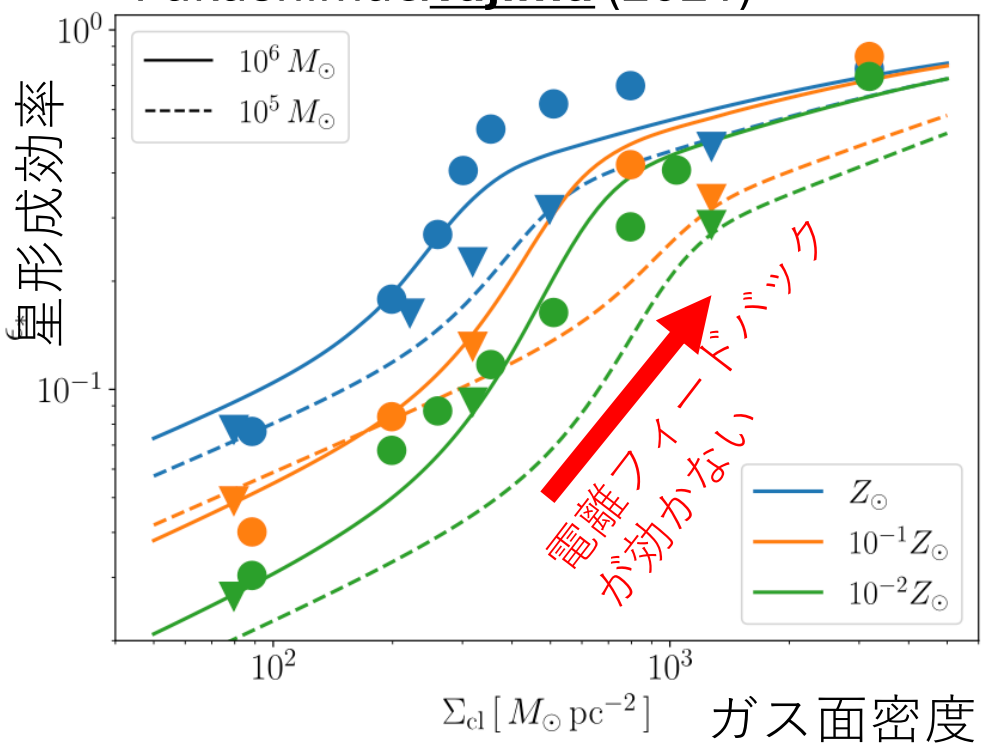


# 高密度星団の形成



## 星形成効率と雲密度の関係





#### 電離加熱で飛ばせる場合

電離蒸発まで星形成

$$\frac{d}{dt}(M_{\rm sh}\dot{r}_{\rm sh}) = 4\pi r_{\rm sh}^2 \rho_{\rm i} c_{\rm i}^2$$

$$t_{\rm exp} = 3.9 {\rm Myr} \left(\frac{\epsilon_*}{0.1}\right)^{-1/4} \left(\frac{\Sigma_{\rm cl}}{80 M_{\odot} {\rm pc}^{-2}}\right)^{1/4} \left(\frac{T_{\rm i}}{8000 {\rm K}}\right)^{-7/10}$$

$$M_* = \epsilon_* M_{\rm cl} = M_* t_{\rm exp}$$

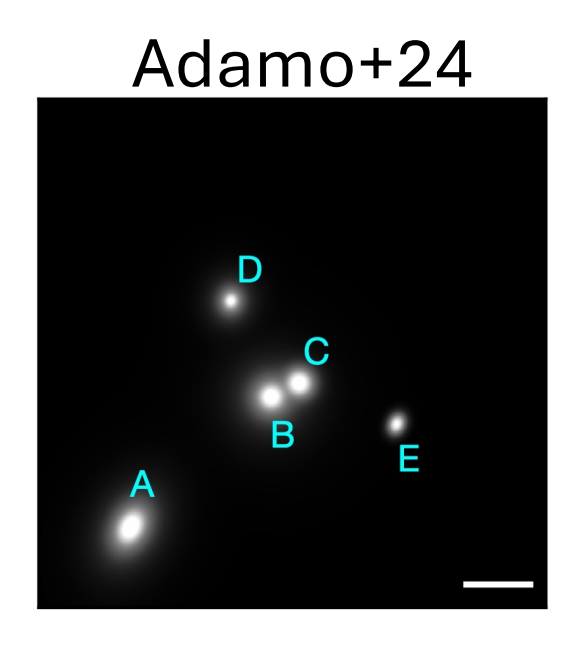
#### 飛ばせない場合

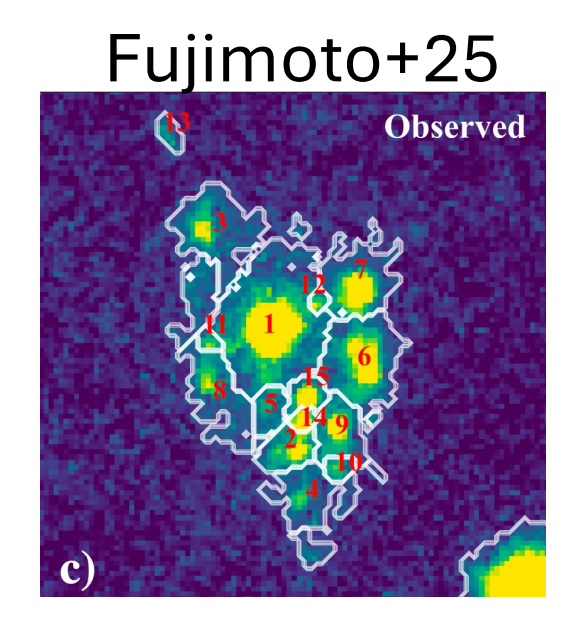
輻射圧=重力まで星形成

$$F_{\text{grav}} = \frac{GM_{\text{sh}}(M_* + M_{\text{sh}}/2)}{R_{\text{cl}}^2} = \frac{GM_{\text{cl}}^2}{2R_{\text{cl}}^2} (1 - \epsilon_*^2)$$

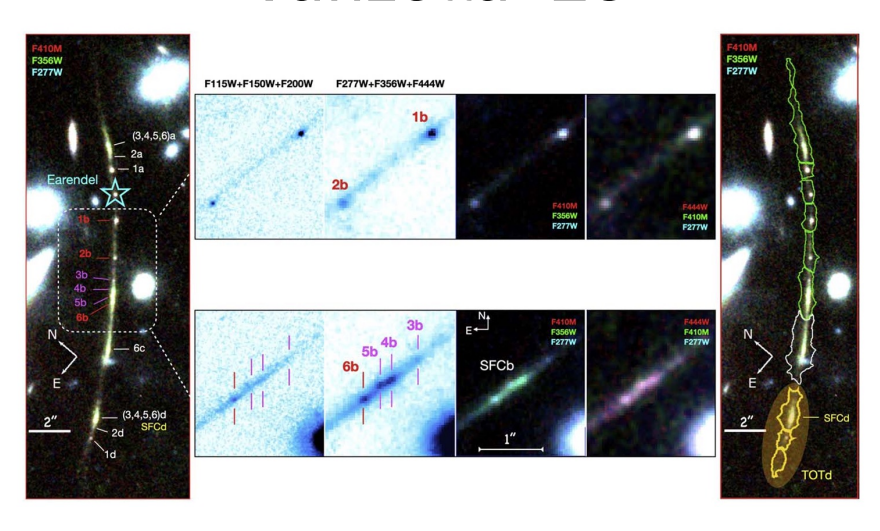
$$F_{\rm rad} = \frac{L}{c} = \frac{\epsilon_* M_{\rm cl} l_*}{c}$$

# コンパクト大質量星団の発見





Vanzella+23



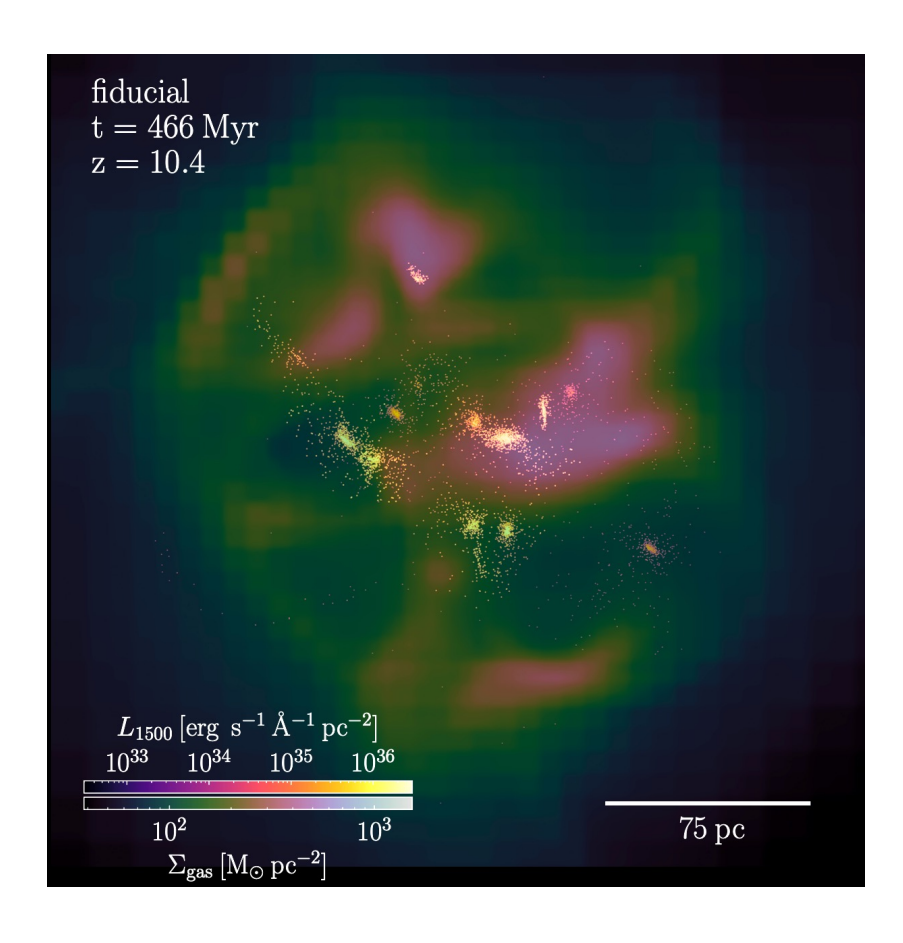
複数の高密度星団が同時に形成?

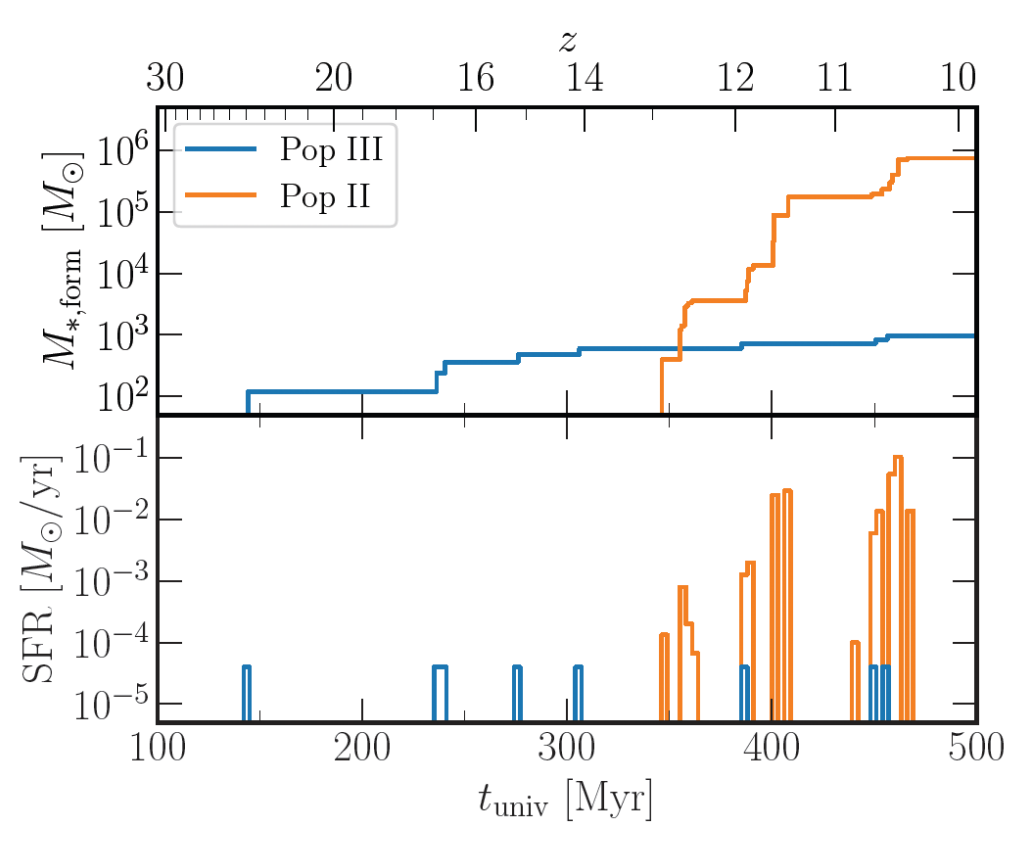
### 内部UVフィードバックによる大質量星団形成

Sugimura, Ricotti, Park, Garcia, <u>Yajima</u> (2024)

Cosmological RHD simulation using Ramses-RT (AMR)

Zoom-in IC, a target halo  $M_h \sim 10^8 M_{sun} @ z \sim 10$ 





# 内部UVフィードバックによる大質量星団形成

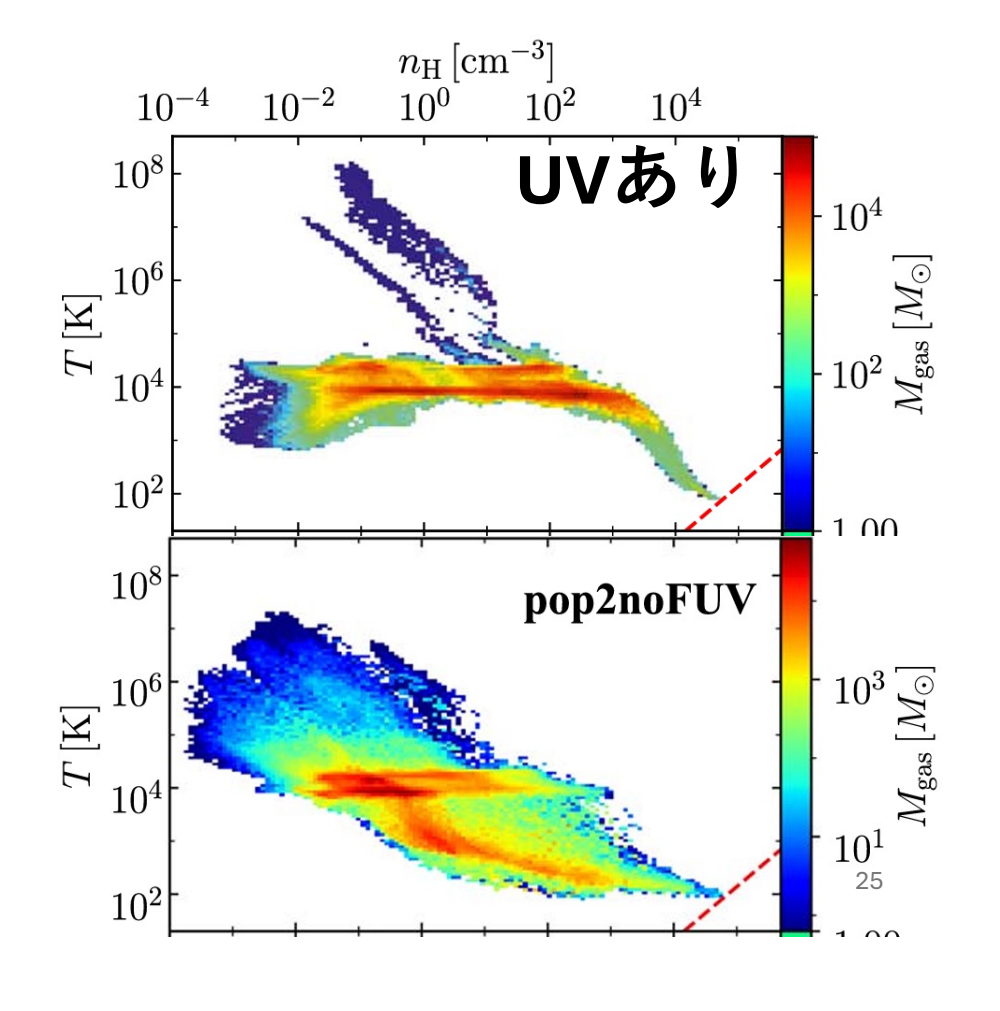
Sugimura, Ricotti, Park, Garcia, Yajima (2024)

低金属ガスでは水素分子が冷却源

一旦星形成するとUVによって周囲星間ガスの水素分子破壊

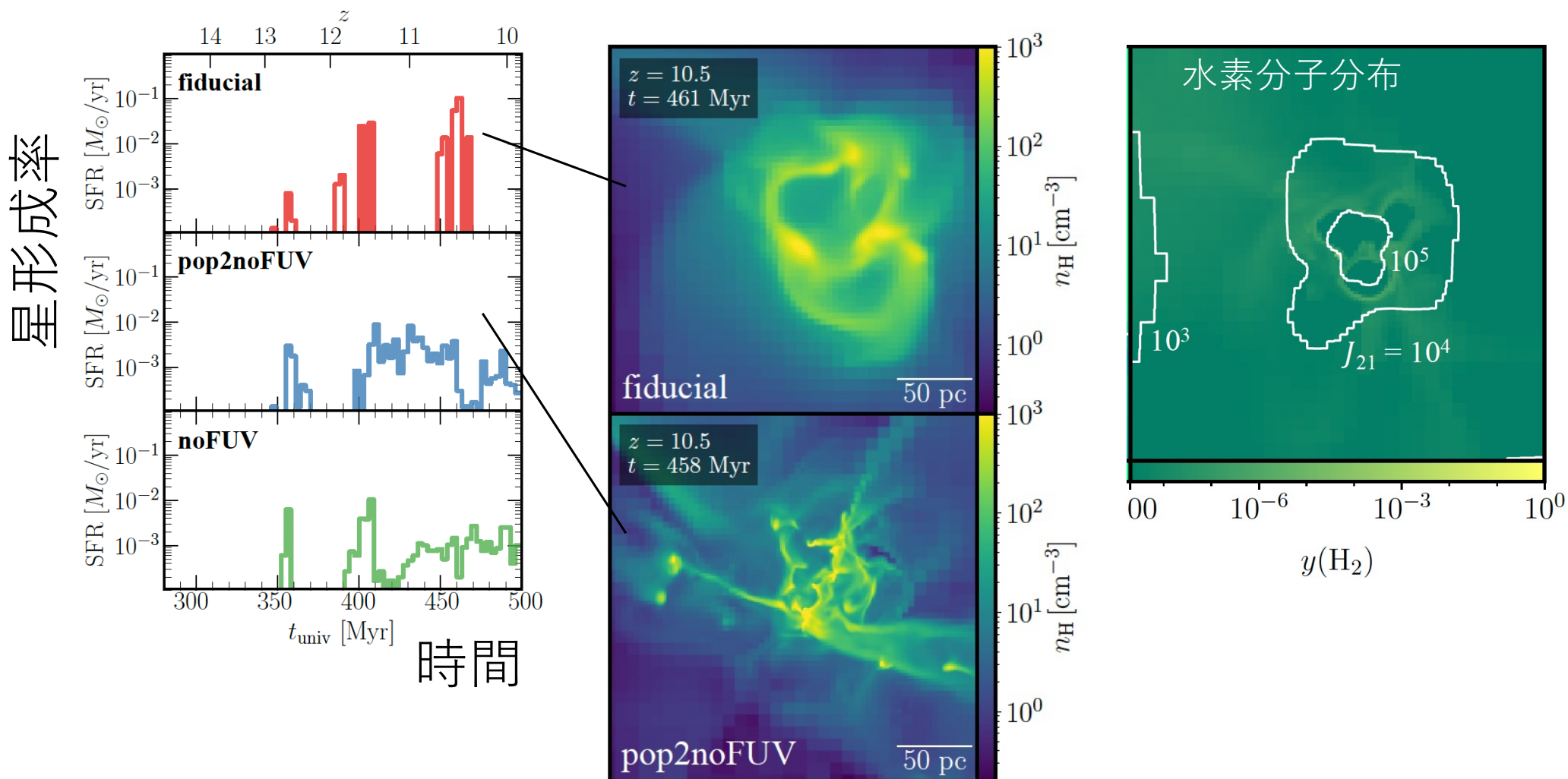
ジーンズ質量が増大=> 大質量星団形成



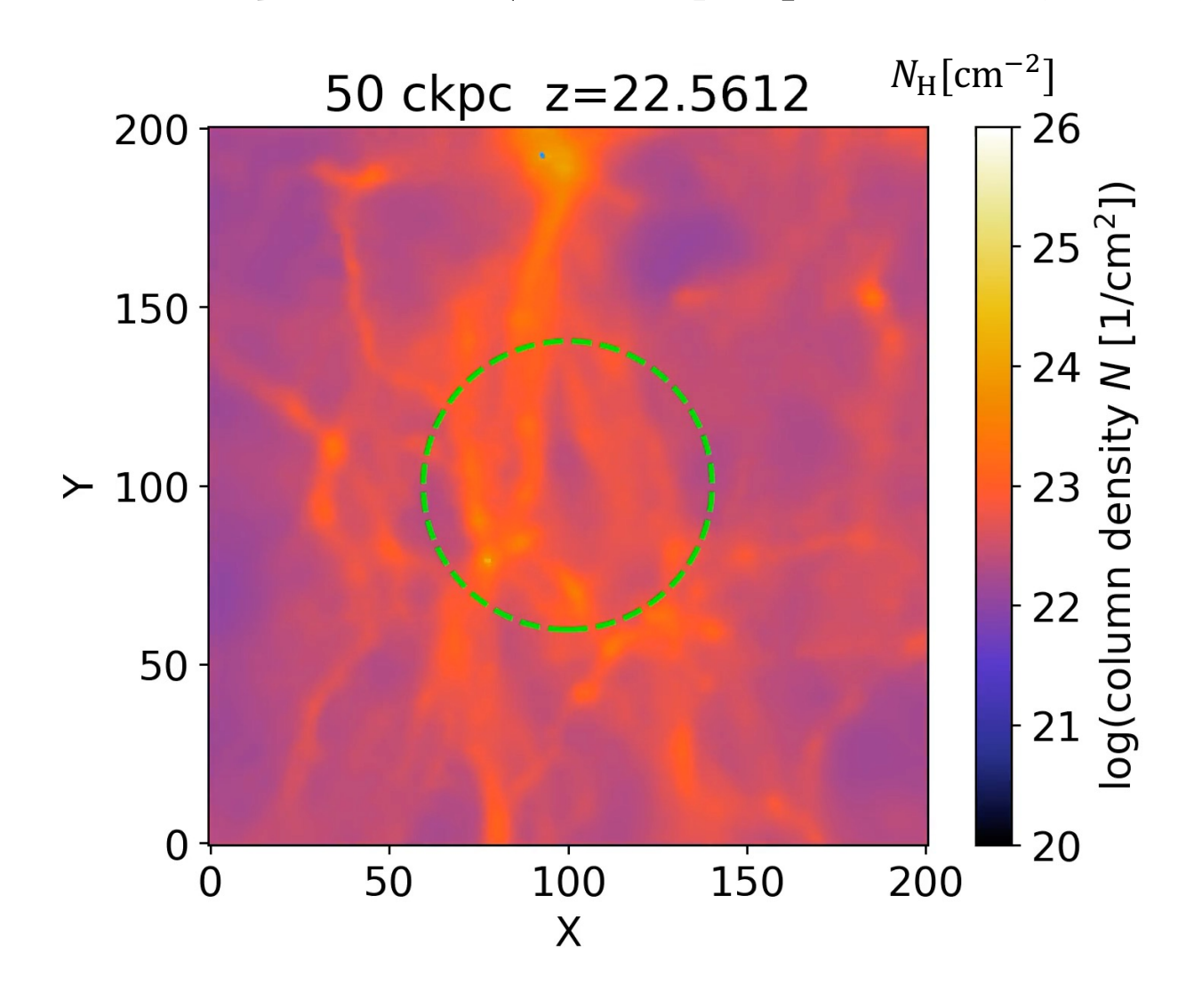


# 内部UVフィードバックによる大質量星団形成

Sugimura, Ricotti, Park, Garcia, Yajima (2024)



### さらに重たい初代銀河形成へ



Ishida, Yajima+ in prep.

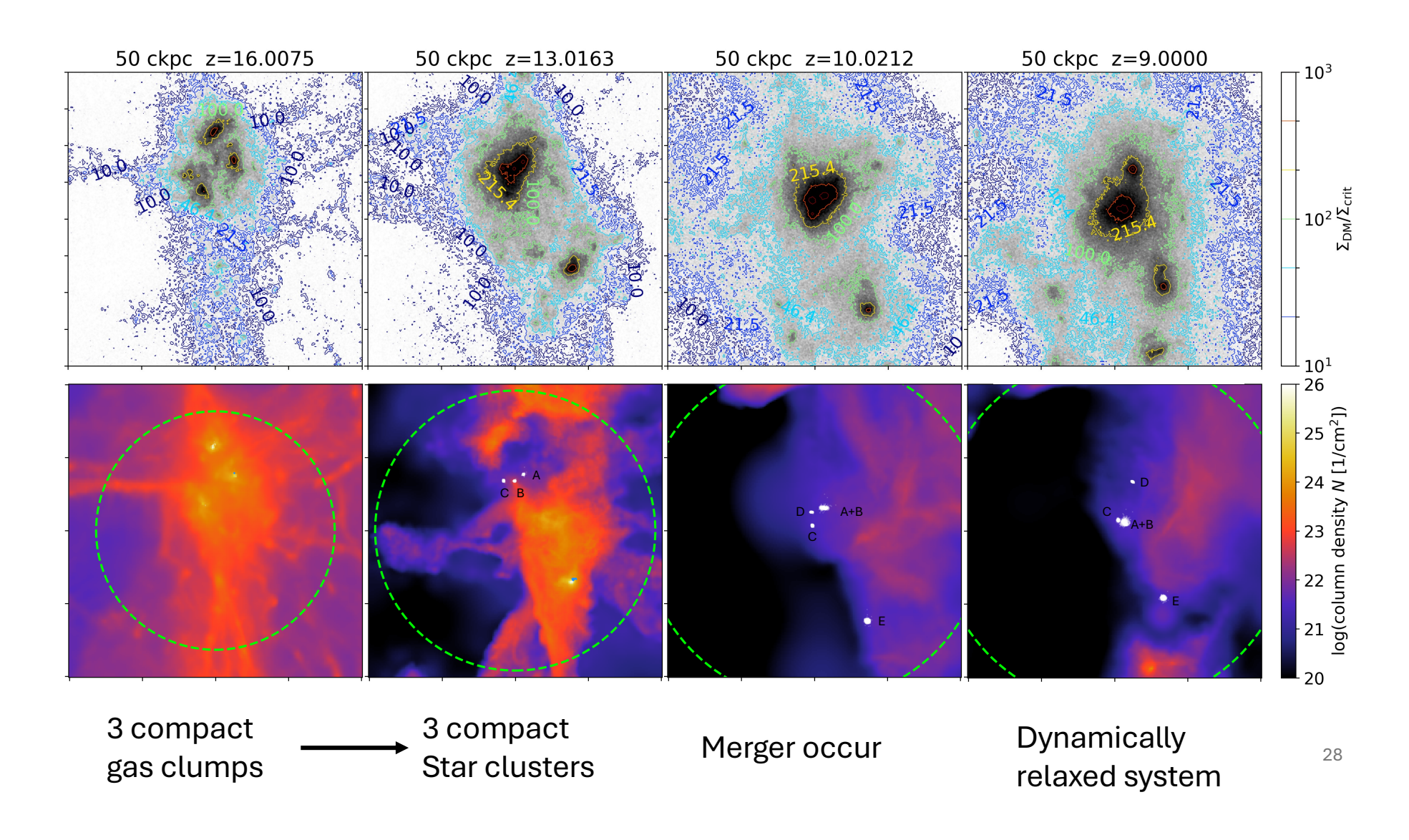
Cosmological RHD using Gadget-3
Zoom-in IC

 $M_{halo}$ :  $10^8 \sim 5 \times 10^9 M_{sun}$ 

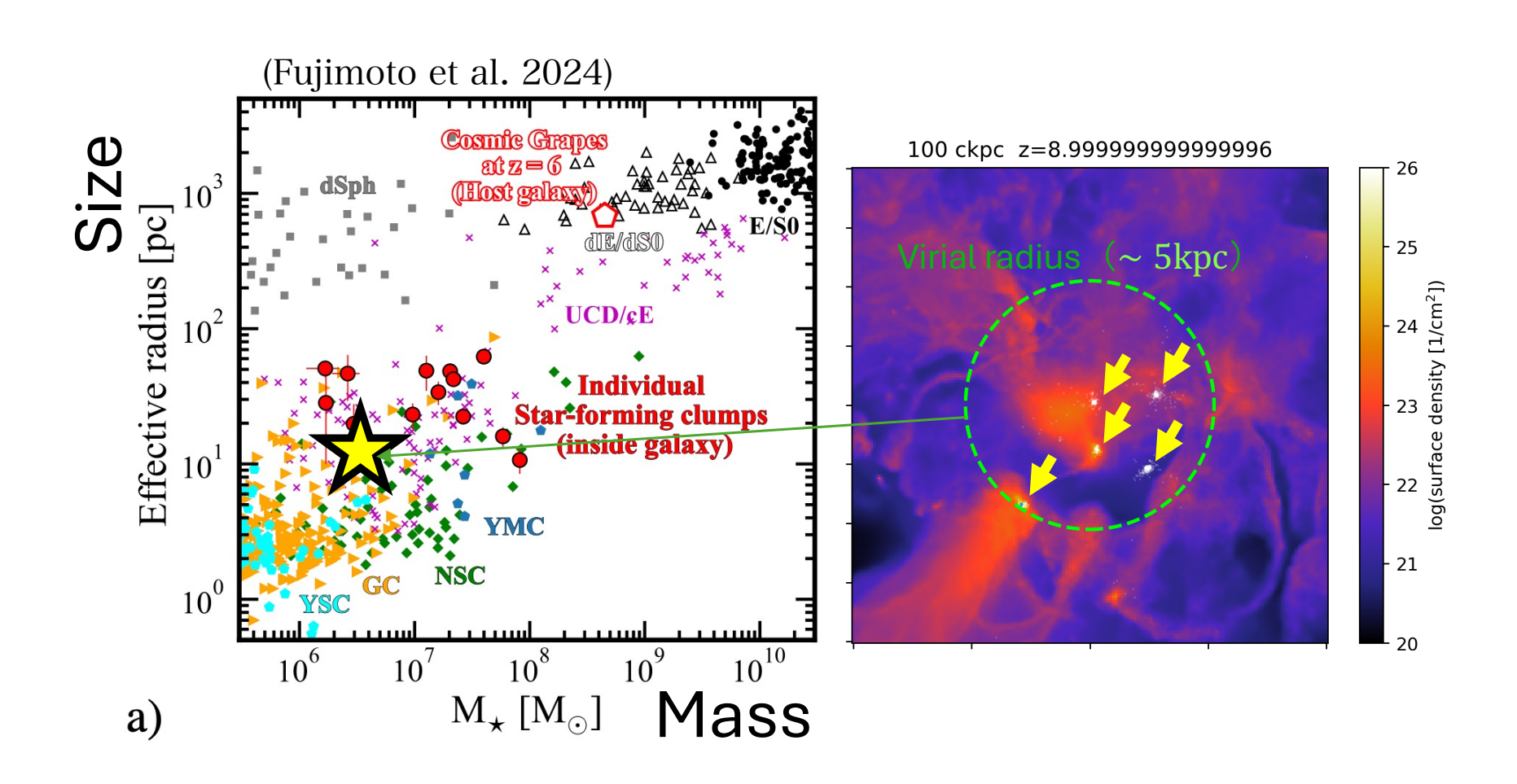
m<sub>SPH</sub>: 10, 100 M<sub>sun</sub>

Blue dots...Pop III stars White dots...Pop II stars

# さらに重たい初代銀河形成へ



### さらに重たい初代銀河形成へ



# 初代銀河進化ダイアグラム

Star formation Yajima (2025, submitted) SN feedback  $V_{out} < V_{esc}$ ? Inefficient star formation Starburst Surface density  $\Sigma_{\rm gas} > \Sigma_{\rm crit}$ ? Smooth stellar disk GC formation Migration  $t_{mig} < t_{age}$ ? Rapid growth of BHs Clumpy galaxy

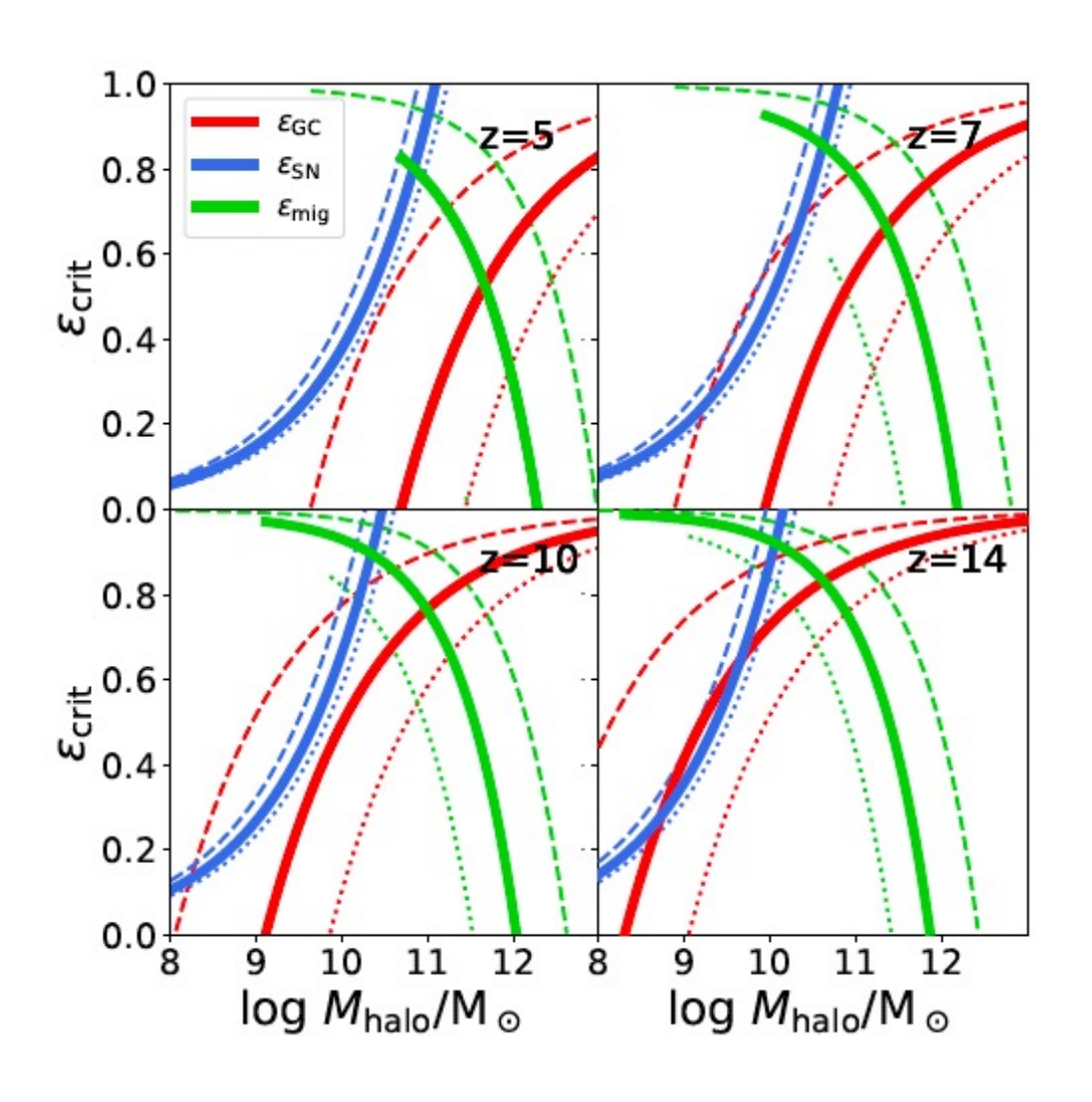
# 3つの星系成功率条件

$$\varepsilon_{\rm SN} = \frac{1 - f_{\rm d}}{f_{\rm d}} \frac{1}{f_{\rm SN} P_{\rm SN} V_{\rm esc} - 1}$$

$$\varepsilon_{\rm GC} = 1 - 0.61 \left( \frac{\Sigma_{\rm crit}}{10^3 \text{ M}_{\odot} \text{ pc}^{-2}} \right) \left( \frac{r_{\rm cl}}{z_0} \right)^{-1} \left( \frac{f_{\rm d}}{0.1} \right)^{-1} \times \left( \frac{M_{\rm h}}{10^{10} \text{ M}_{\odot}} \right)^{-1/3} \left( \frac{\lambda}{0.03} \right)^2 \left( \frac{1+z}{10} \right)^{-2}.$$

$$\varepsilon_{\rm mig} = 1 - 0.26 \left( \frac{t_{\rm age}}{500 \text{ Myr}} \right)^{-1} \left( \frac{v}{100 \text{ km s}^{-1}} \right)^{3} \times \left( \frac{M_{\rm cl}}{10^{5} \text{ M}_{\odot}} \right)^{-1} \left( \frac{n_{\rm H}}{10^{4} \text{ cm}^{-3}} \right)^{-1} I(\mathcal{M})^{-1}.$$

### 臨界星形成効率



球状星団形成超新星爆発中心への移動

ダッシュ線: **λ=0.02** 

実線: λ=0.03

点線: λ=0.04

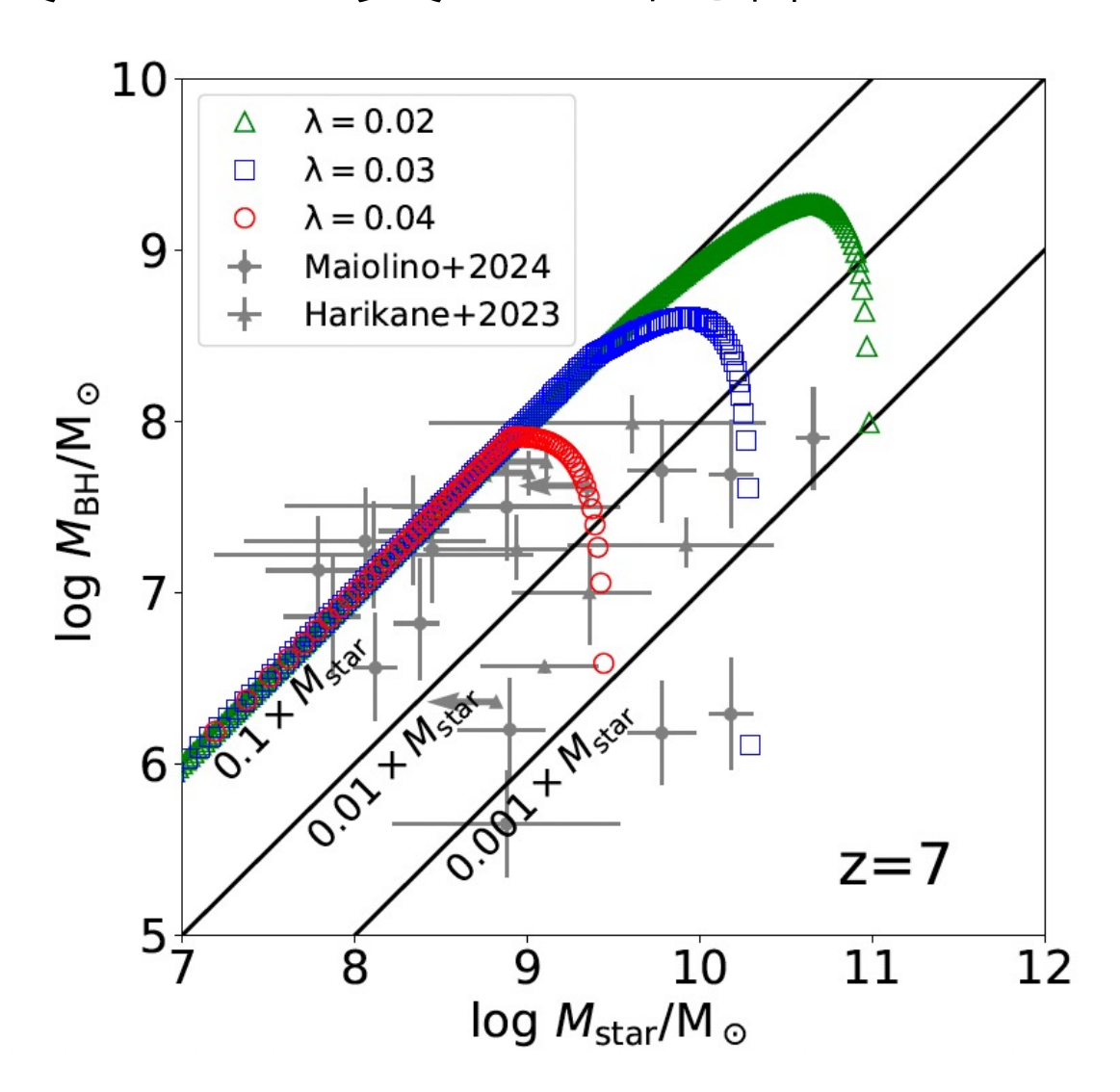
### BHと星の最大質量

中心に移動した球状星団は潮汐破壊を伴い一部BHへ降着

$$M_{
m BH} = f_{
m TDE} \epsilon_{
m min} f_{
m d} rac{\Omega_{
m b}}{\Omega_{
m m}} M_{
m h}, \ \min(arepsilon_{
m GC}, arepsilon_{
m mig}, arepsilon_{
m SN})$$

$$\frac{M_{\rm BH}}{M_{\rm star}} = \begin{cases} \frac{f_{\rm TDE}}{1 - f_{\rm TDE}} & \text{for } \varepsilon_{\rm SF,min} = \varepsilon_{\rm SF,min2} \\ \frac{\varepsilon_{\rm SF,min} f_{\rm TDE}}{\varepsilon_{\rm SF,min} (1 - f_{\rm TDE}) + (\varepsilon_{\rm SF,min2} - \varepsilon_{\rm SF,min})} & \min(\varepsilon_{\rm GC}, \varepsilon_{\rm SN}) \\ & \text{for } \varepsilon_{\rm SF,min} < \varepsilon_{\rm SF,min2}. \end{cases}$$

# BH質量と星質量の関係



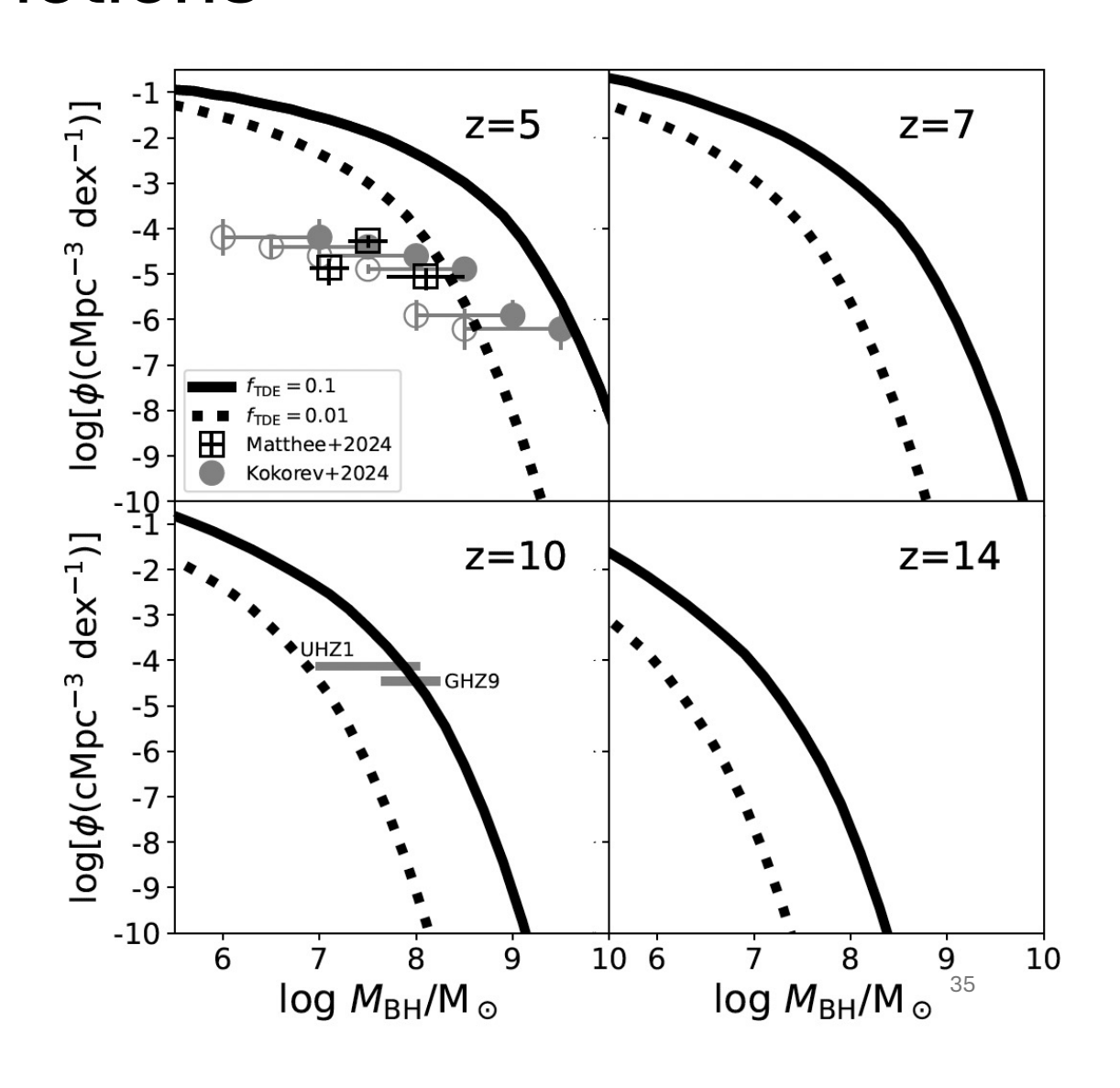
#### Black hole mass functions

今回のモデル
$$M_{BH} = f(M_h, \lambda, z)$$

Halo mass function Sheth&Tormen+99



Spin param distribution
Bullock+01



### まとめ

# 1. 初代銀河の形成 (with Pop III)

# 2. 初代銀河の星団形成

- JWST観測によって、PopIII星団、出来立ての球状星団
- の候補がいろいろ発見されてきた
- シミュレーションでは、ある程度銀河進化が進んでもサテライト銀河はPopIII星団を保持している
- 紫外線フィードバックの効果で初代銀河内で複数の球状星団 が形成されることがわかった
- これら球状星団は中心に移動してBH成長を促進するかも